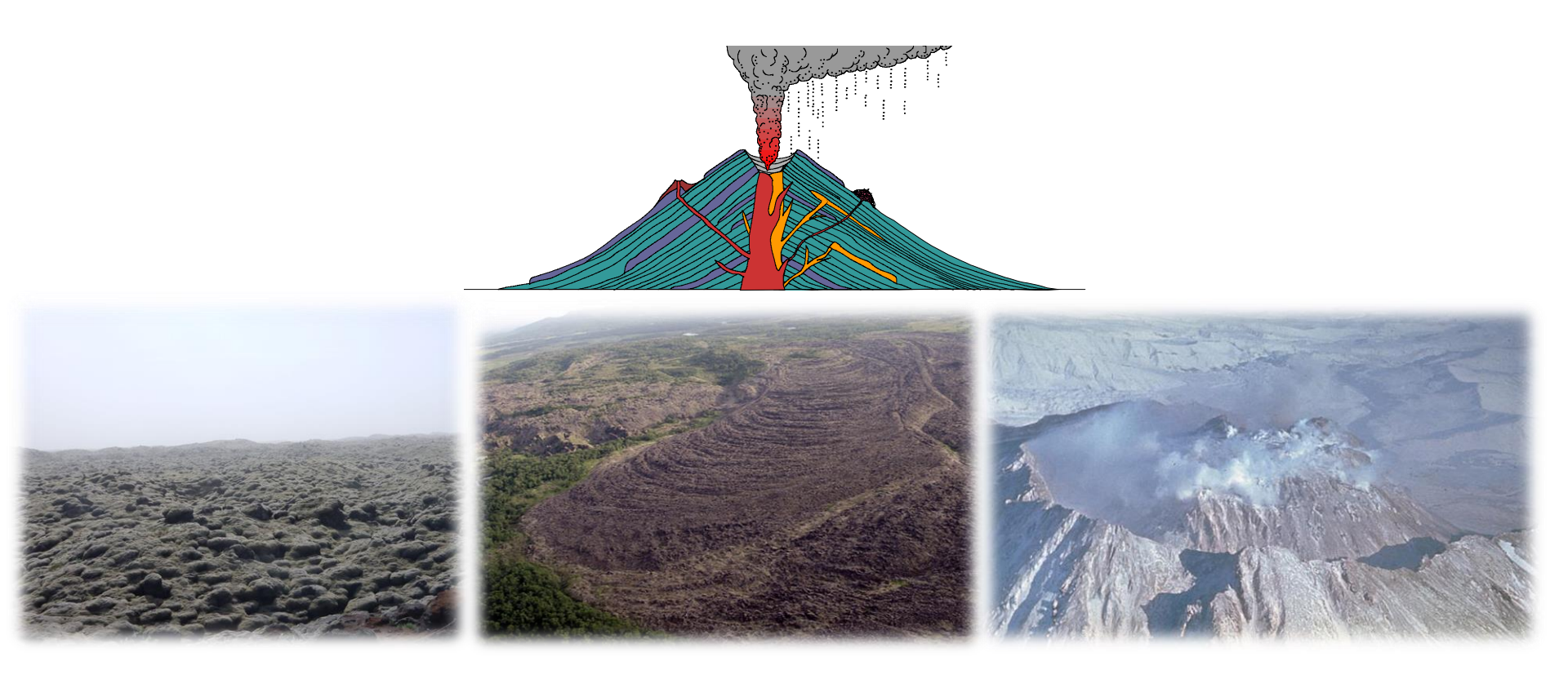
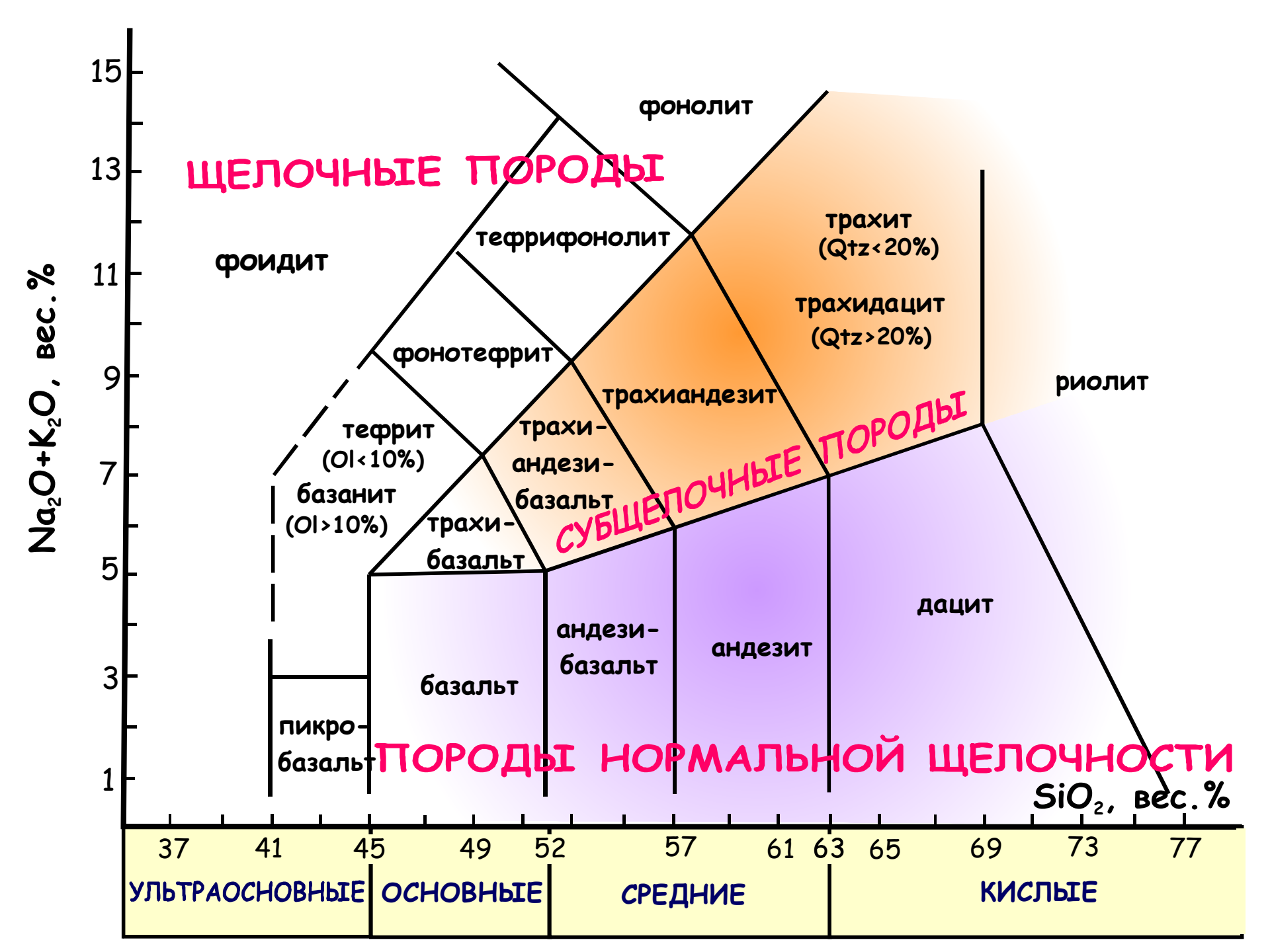
ВУЛКАНИЧЕСКИЕ ПОРОДЫ РАЗЛИЧНОЙ КРЕМНЕКИСЛОТНОСТИ



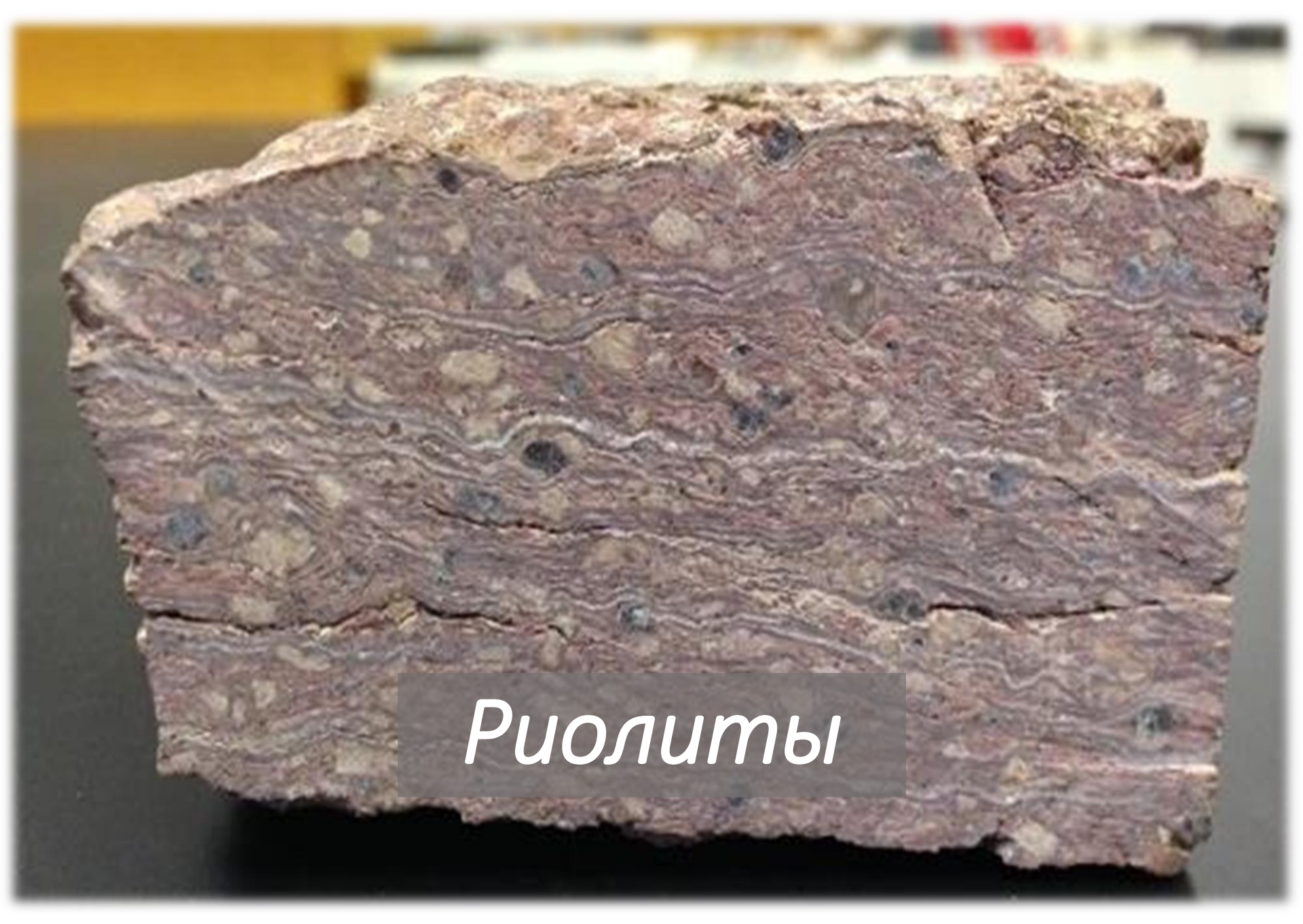
2025 Мария Шур, кафедра петрологии и вулканологии, МГУ, Москва.

















Базальт (основн.)

Базальт (основн.)

Андезит (средняя)



Дацит (кислая)



Риолит (кислая)

Наиболее распространенные эффузивные породы:

	Ультраосновные	Основные породы	Средние породы	Кислые породы	
	породы <45%SiO ₂	45-53%SiO ₂	53-65%SiO ₂	>65%SiO ₂	
НАЗВАНИЕ	Пикрит	Базальт	Андезит	Дацит	Риолит
«ГЛАВНЫЙ» ТЕМНОЦВЕТНЫЙ	Ol	Px	Hbl	Bt	
МИНЕРАЛЫ ВКРАПЛЕННИКОВ	<u>Ol</u> , Px	CPx, OPx, Pl (An>50), Ol	Pl (An 50-30), OPx, CPx, Hbl, Bt	Pl (An<30), Hbl, Bt	Qtz, Kfs, Bt, (Pl)
МИНЕРАЛЫ ОСНОВН.МАССЫ	Px, Ol, Pl<10-15%, Mt	Pl, Px, Mt	Pl, Mt	Qtz, Kfs, Pl	
СТРУКТУРЫ ОСНОВНОЙ МАССЫ	«МИКРОЛИТОВЫЕ»			«ФЕЛЬЗИТОВЫЕ»	
«ОСОБЫЕ» ПОРОДЫ	Коматиит — со структорой «спинифекс»; Кимберлит — субщелочной, самые глубинные очаги, источник алмазов		Трахиты — субщелочные и щелочные породы с Kfs	Обсидиан — кислое вулканическое стекло; Игнимбрит — продукт кристаллизации флюидонасыщенной очень подвижной кислой магмы, содержит «фьямме».	
ФОРМЫ ЗАЛЕГАНИЯ	Потоки, покровы. Кимберлиты – трубки взрыва	Потоки, покровы	Короткие мощные потоки, Много пирокластики	Очень короткие и мощные потоки, экструзивные купола. Игнимбриты – покровы.	

ПЛУТОНИЧЕСКИЕ ПОРОДЫ НОРМАЛЬНОЙ ЩЕЛОЧНОСТИ РАЗЛИЧНОЙ КРЕМНЕКИСЛОТНОСТИ

Цветное число

(% темноцветных минералов в породе):



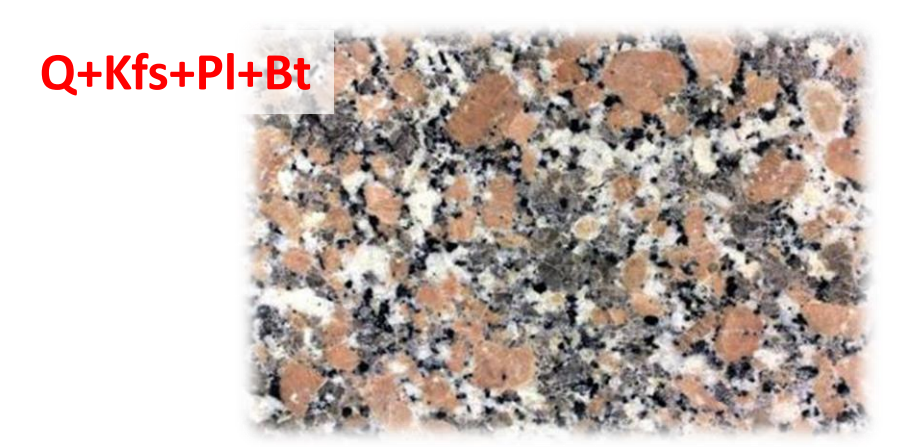
Гарцбургит (ультраосн.) 100%



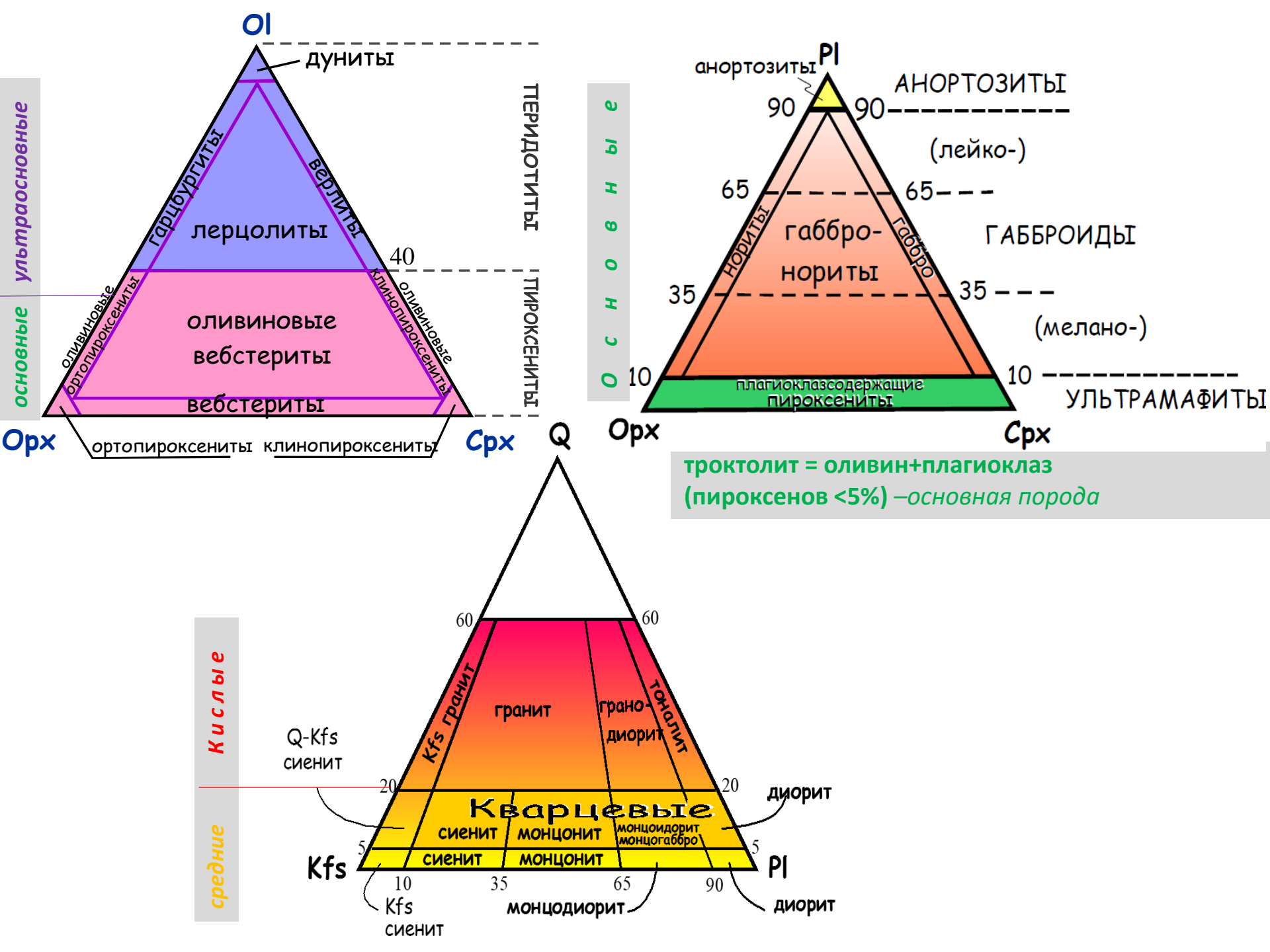
Габбро (основн.) 50%



диорит (средняя) 25%



Гранит (кислая) 10%



Наиболее распространенные интрузивные породы нормального (по содержанию щелочей) ряда.

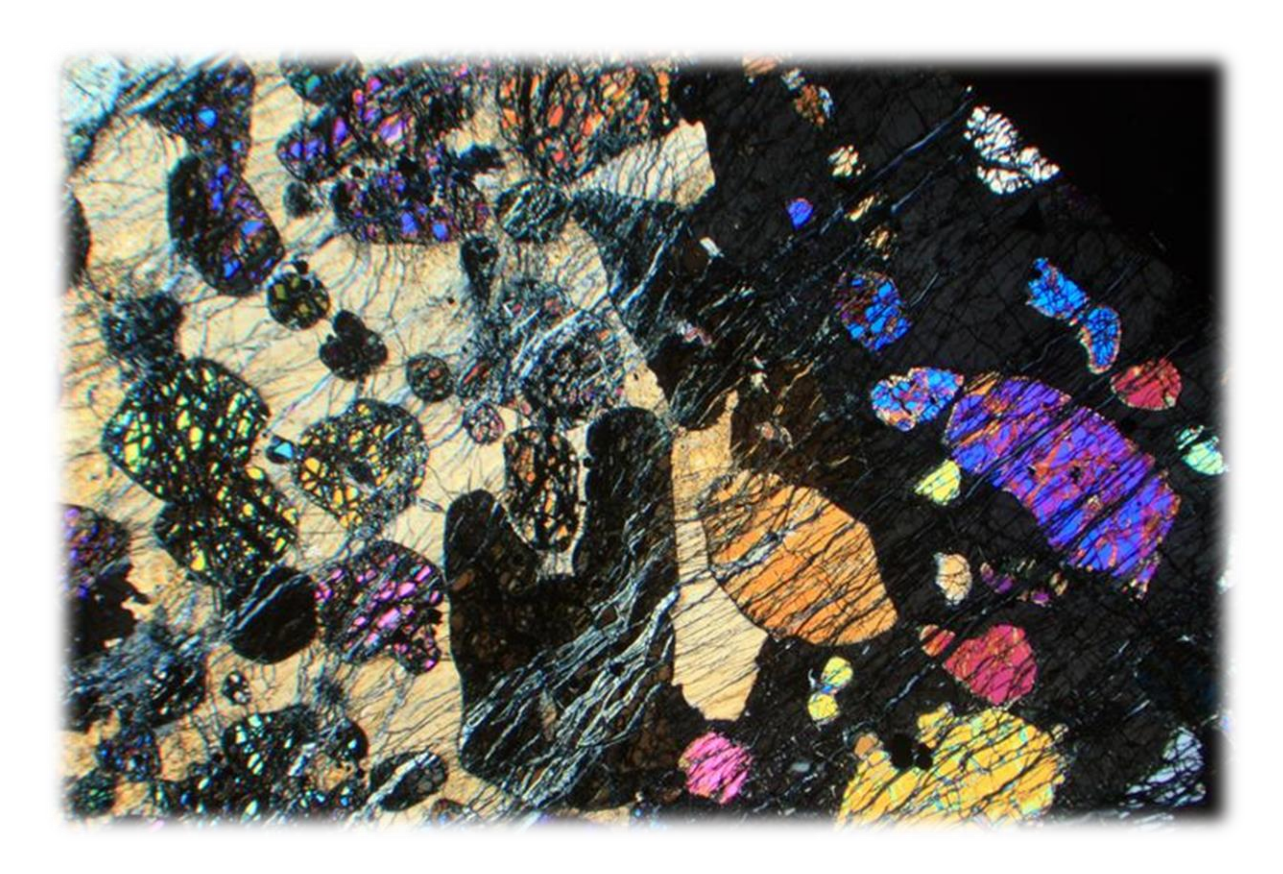
	Ультраосновные	Основные породы	Средние породы	Кислые породы
	породы <45%SiO ₂	45-53%SiO ₂	53-65%SiO ₂	>65%SiO ₂
Типичное цветное число (%темноцветных)	Около 100	Около 50	15-35	0-15
Наиболее типичный темноцветный	Ol	Px	Hbl	Bt
Главные минералы	<u>Ol</u> , OPx, CPx	CPx, OPx, PI (An>50), OI	PI (An 50-30), Hbl, Bt, Qtz, Kfs,	PI (An<30), <u>Qtz</u> , Kfs, Bt
Второстепенные минералы	Pl (An>70), Hbl, Bt	Hbl, Bt, оч.редко - Qtz	СРх	Hbl, Mu
Примеры типичных пород	Дунит, гарцбургит, лерцолит, верлит	Габбро, норит, габбронорит, анортозит, троктолит	Диорит, монцодиорит, монцонит, сиенит (+ они же кварцевые)	Гранит, гранодиорит, тоналит
Эффузивные аналоги	Пикрит	Базальт	Андезит	Дацит, риолит

Степень идиоморфизма кристаллов в плутонических породах

По степени идиоморфизма кристаллов в плутонических породах, выделяют 3 главных вида структур:

- -**панидиоморфнозернистые** (все кристаллы идиоморфные, обычно кумулятивные породы);
- -**паналлотриоморфнозернистые** (все кристаллы ксеноморфные);
- -*гипидиоморфнозернистые* (разная степень идиоморфизма кристаллов, имеет много разновидностей в зависимости от того, какие минералы слагают породу).

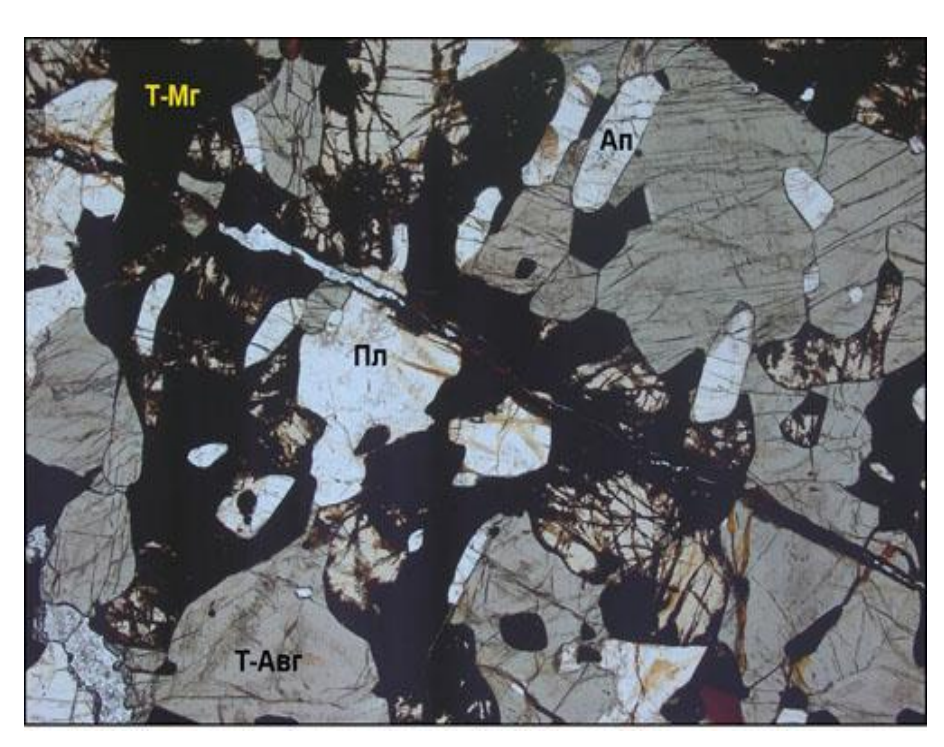
Пойкилитовая стуктура — относительно крупное зерно одного минерала заключает в себе многочисленные более мелкие кристаллы других минералов. Может встречаться в различных породах.



Пойкилитовый кристалл клинопироксена (желтая интерфенционная окраска І порядка), заключающий в себе многочисленные кристаллы оливина.

Сидеронитовая стуктура — ксеноморфные кристаллы рудного

минерала заключают в себе («цементируют») относительно идиоморфные кристаллы силикатов. Может встречаться в различных породах, но наиболее характерна для основных – рудных габбро и пироксенитов.



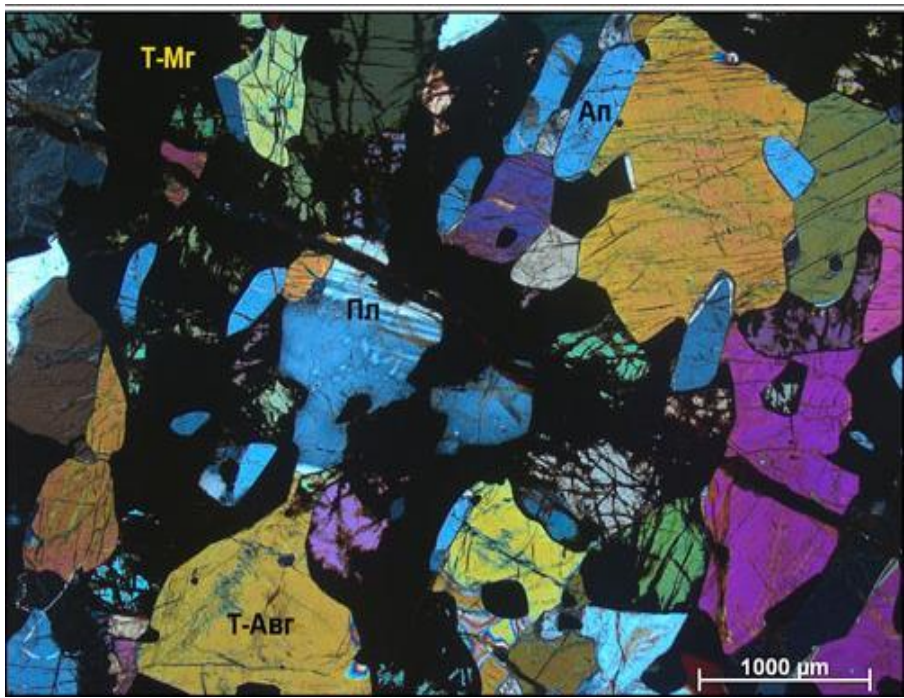


Фото без анализатора

Фото с анализатором

Габбровая стуктура — примерно одинаковая степень идиоморфизма плагиоклаза и темноцветных минералов. Кристаллы плагиоклаза не очень удлиненные. Характерна для абиссальных (глубинных) габброидов.

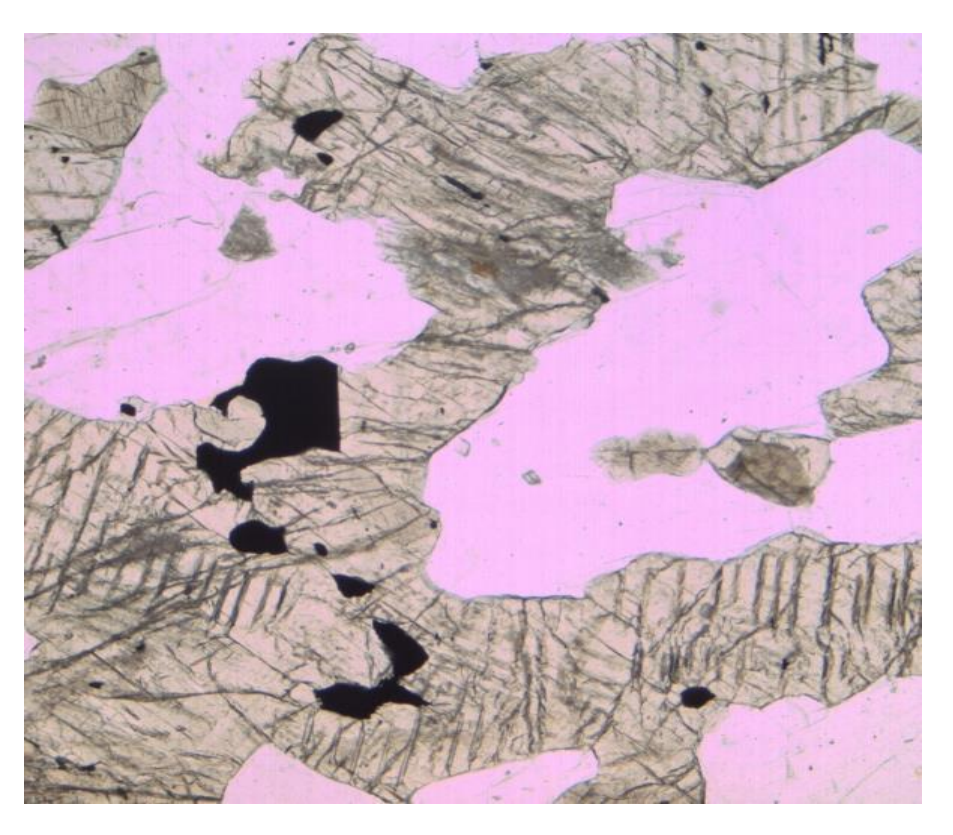


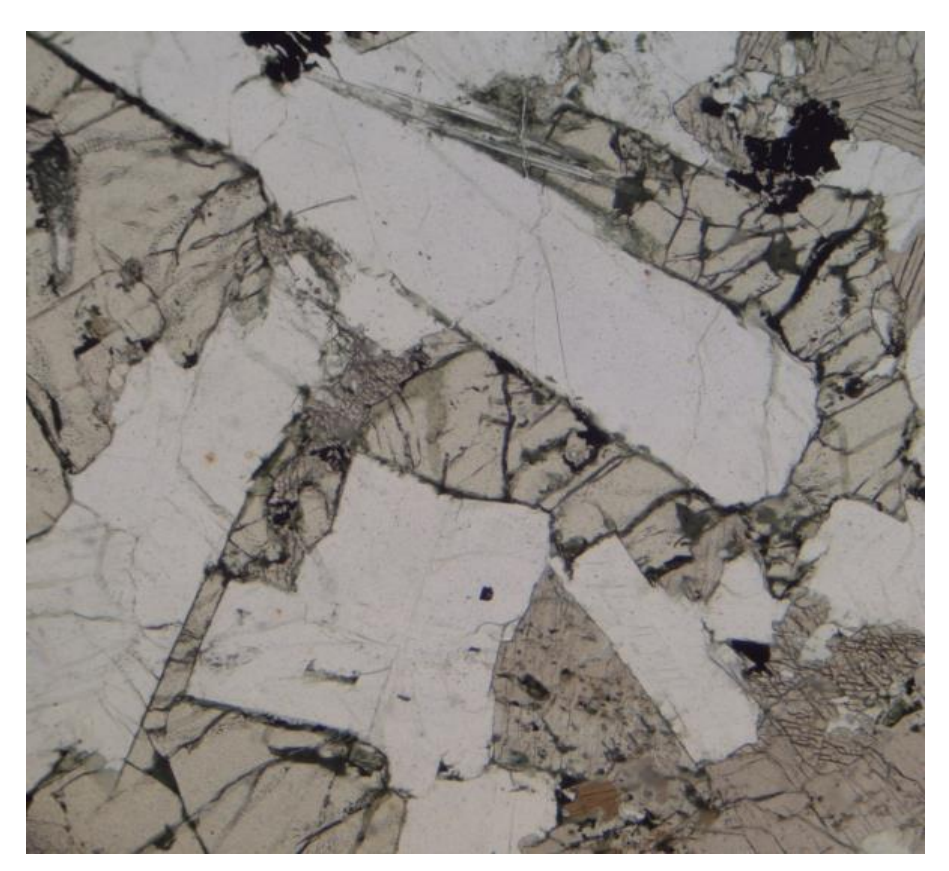


Фото без анализатора

Фото с анализатором

Офитовая стуктура — плагиоклаз гораздо идиоморфнее

темноцветных минералов. Кристаллы плагиоклаза очень удлиненные. Характерна для гипабиссальных (неглубинных) габброидов.



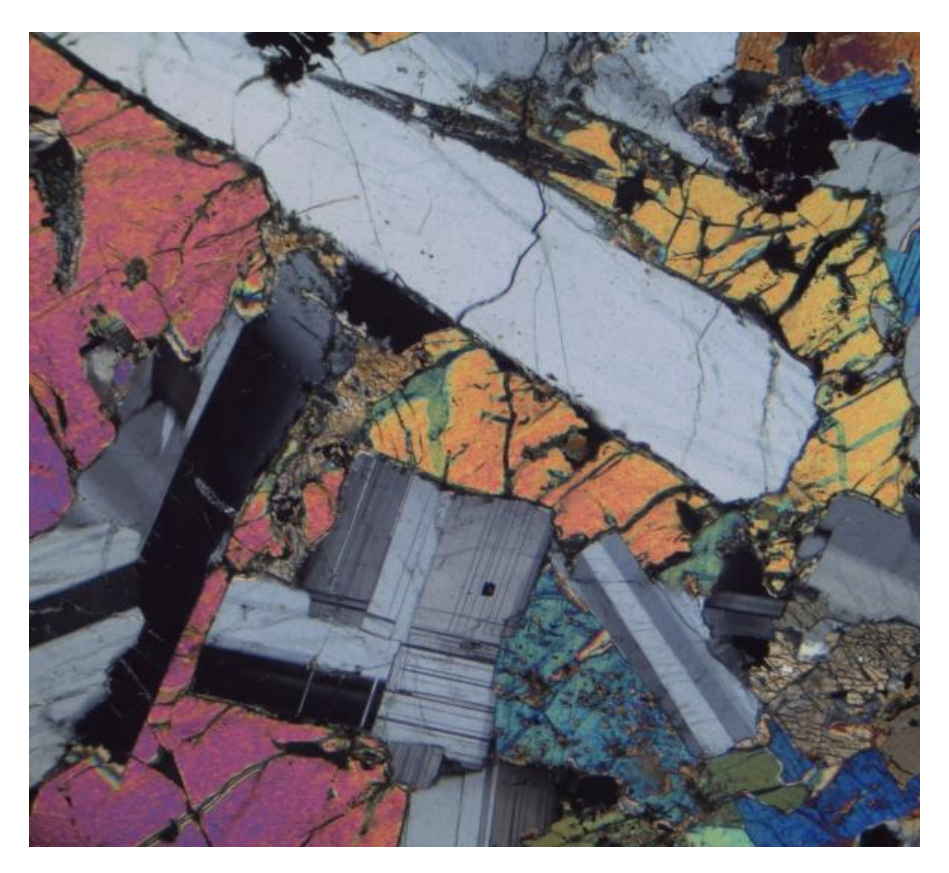
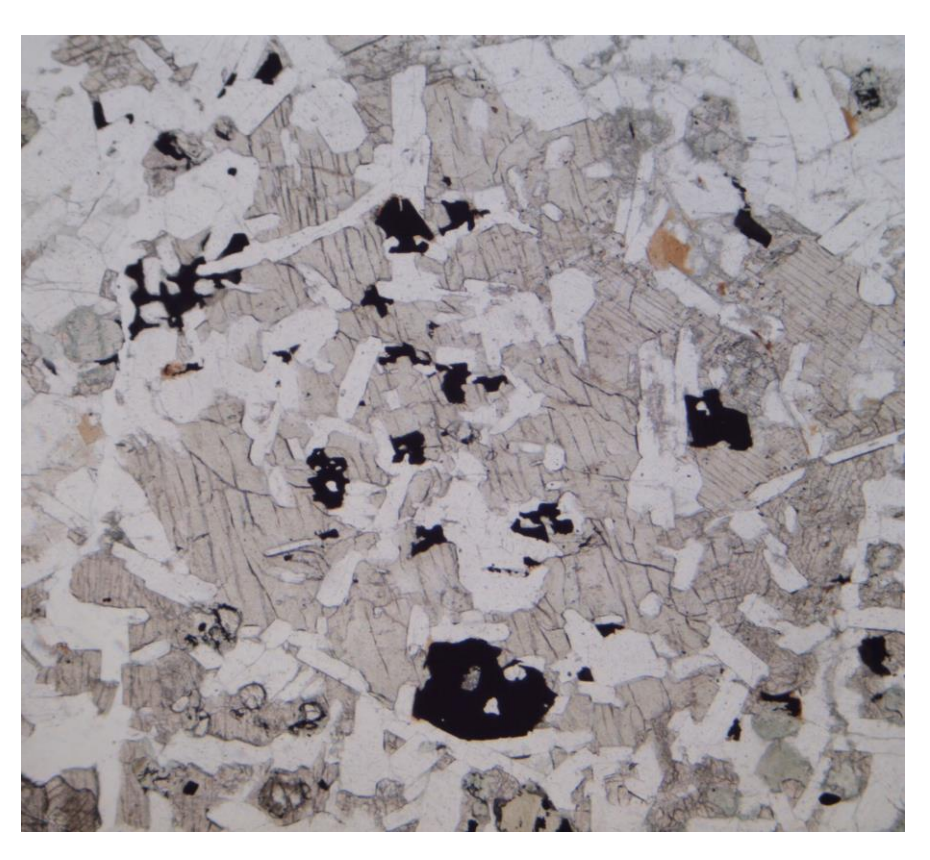


Фото без анализатора

Фото с анализатором

Долеритовая стуктура — мелкозернистая офитовая (или пойкилоофитовая как на этом фото) структура. Характерна для мелких приповерхностных телгабброидов — даек, силлов и т.п..



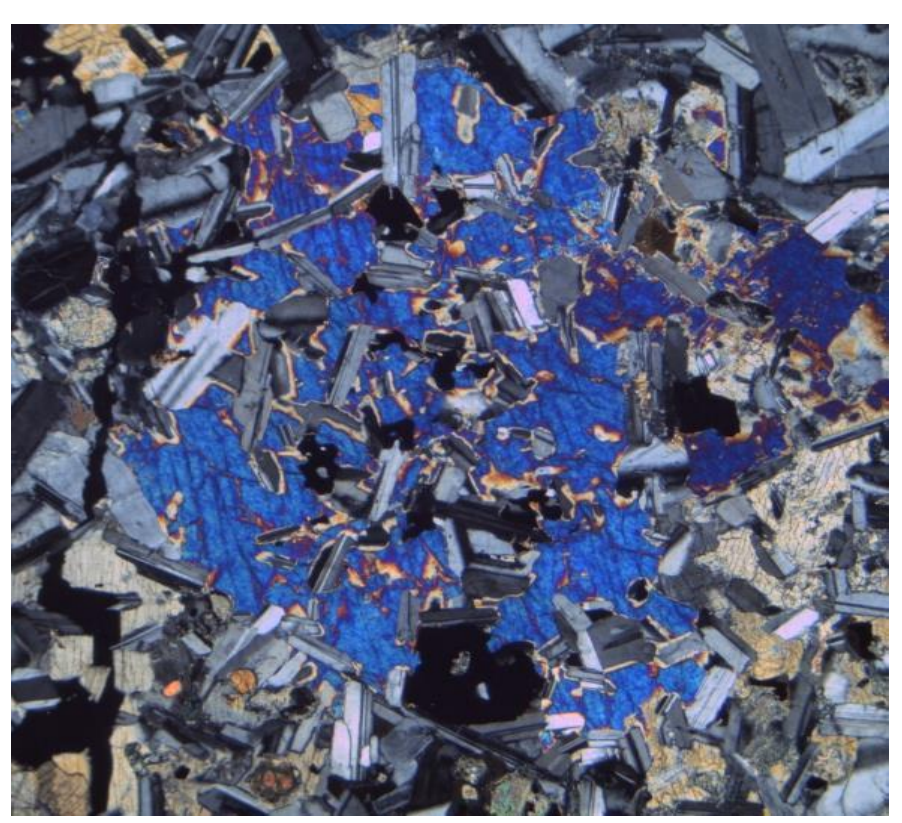


Фото без анализатора

Фото с анализатором

Монцонитовая стуктура — крупные, часто ксеноморфные, кристаллы калиевого полевого шпата заключают в себе идиоморфные кристаллы плагиоклаза, а также других минералов. Характерна для сиенитов и монцонитов.





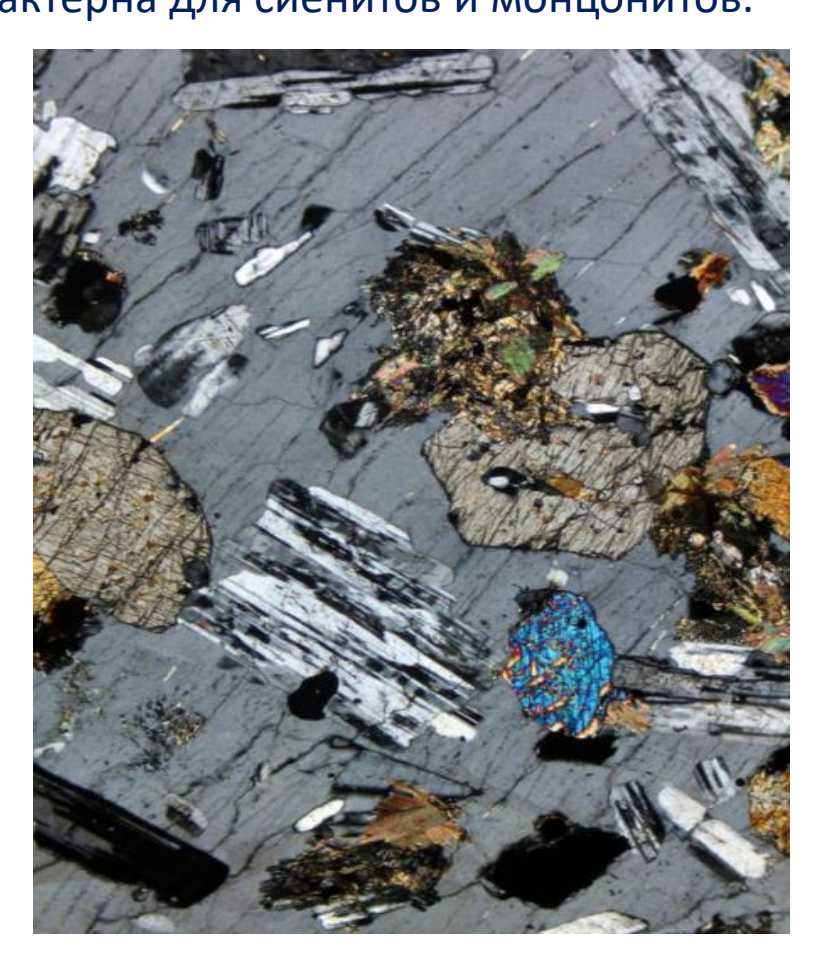


Фото с анализатором

Гранитная стуктура — невысокая степень идиоморфизма всех минералов, при этом кристаллы плагиоклаза идиоморфнее калиевого полевого шпата, который, в свою очередь, идиоморфнее кварца.



Фото без анализатора



Фото с анализатором



Интерстициальный кварц – признак «гранитной структуры»

Агпаитовая стуктура — крупные ксеноморфные кристаллы щелочных темноцветных минералов, чаще всего эгирина, заключают в себе идиоморфные кристаллы фельдшпатоидов и других минерплов. Характерна для агпаитовых нефелиновых сиенитов.



Фото без анализатора



Фото с анализатором

Формы залегания вулканических пород

Генетические типы вулканогенных пород:

- **Эффузивные** (effusio излияние (лат)
- **Экструзивные** (extrude вытеснять)
- **Эксплозивные** (explosio взрыв)

Вулканические породы

- І извергнутые на поверхность (А, Б, В)
- II субвулканические (без сообщения с поверхностью)
- III жерловые (частично сообщались с поверхностью)

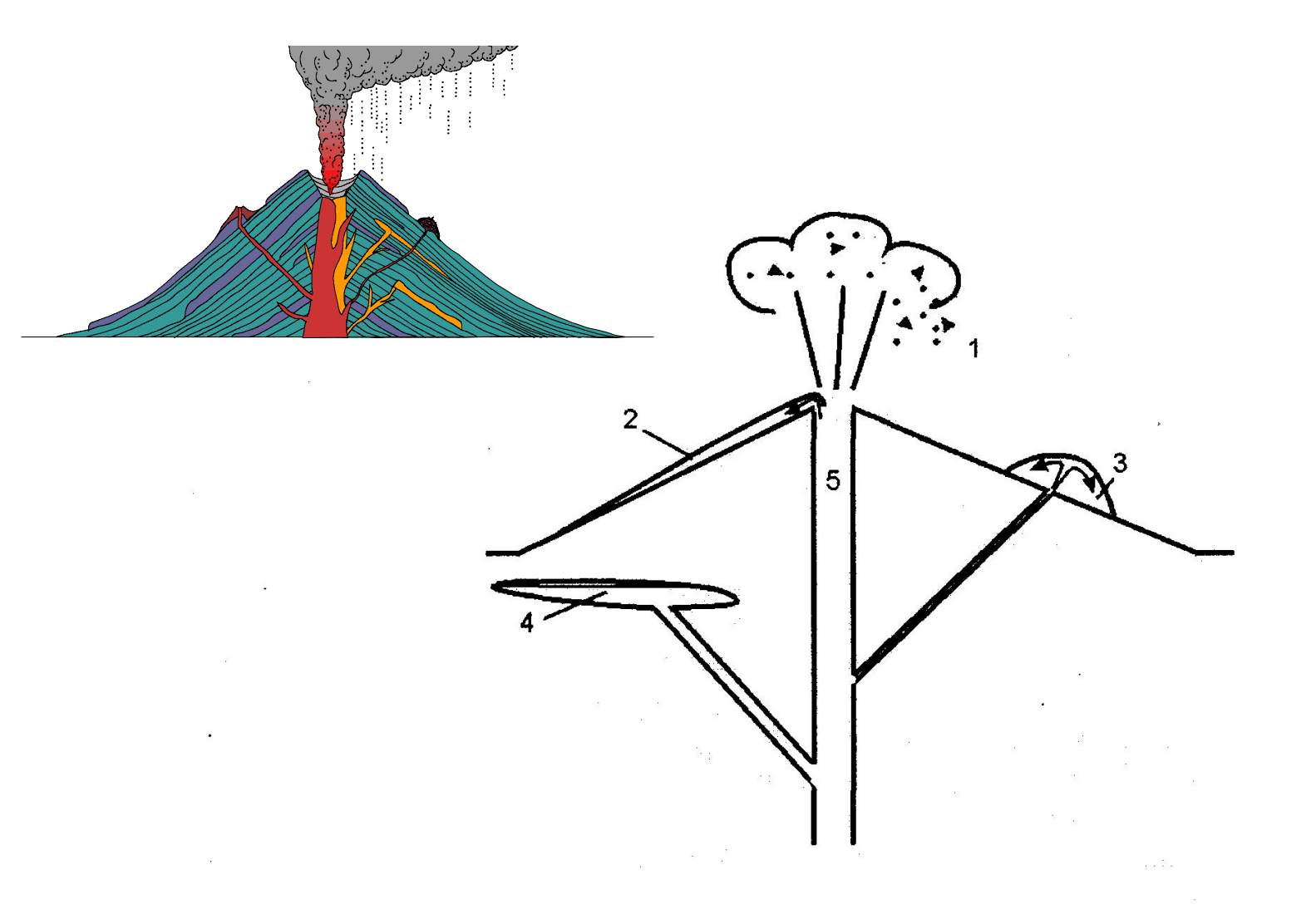


Рис. 2.1. Генетические типы вулканогенных образований и формы их залегания:.

1-3- стратифицированные: 1- пирокластические (эксплозивные); 2- лавы (эффузивные); 3- экструзивные; 4-5- рвущие: 4- субвулканические; 5- жерловые



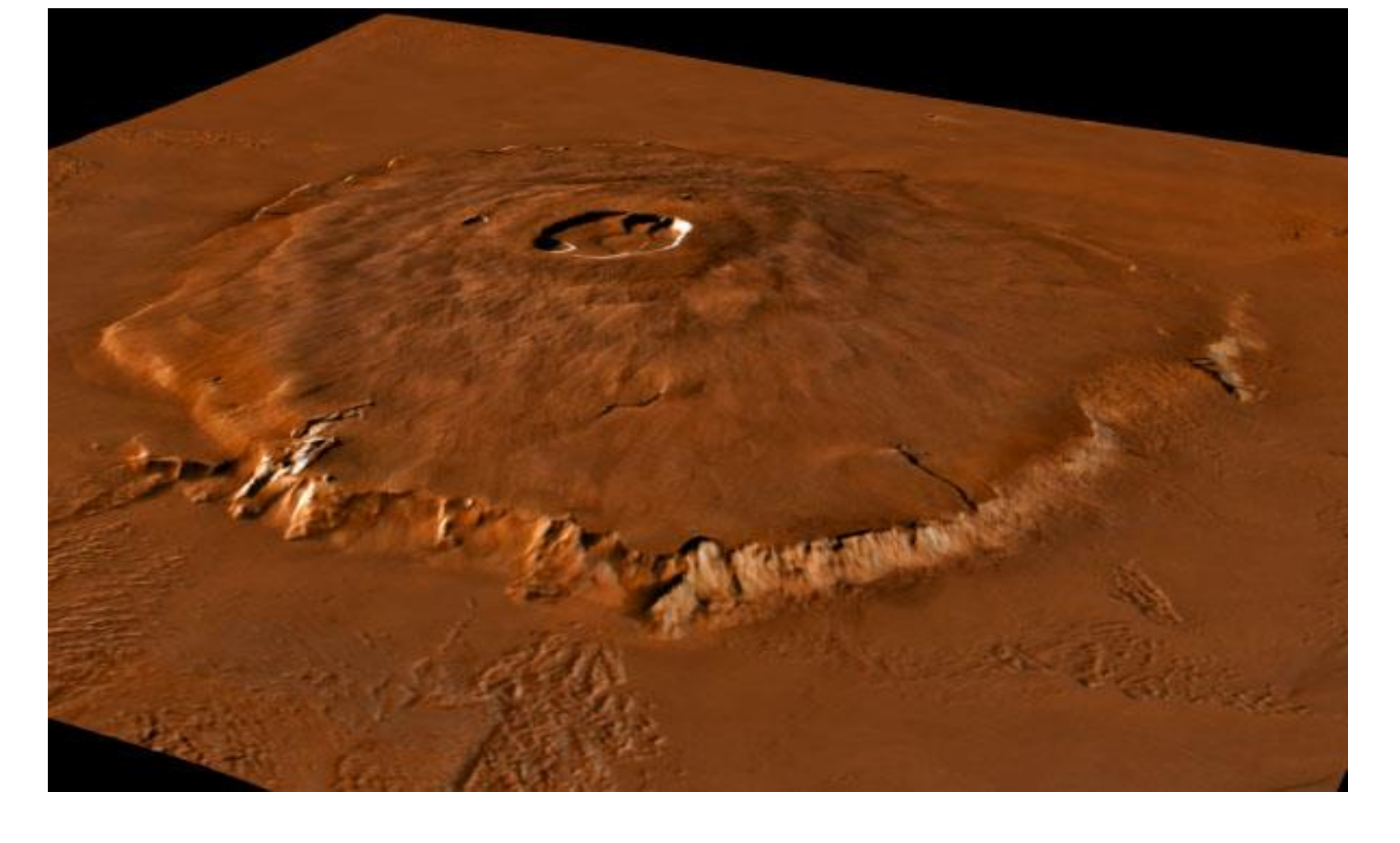
Крафла

Раскалённые фонтаны лавы поднимаются над трещинным извержением на вулкане Крафла на северо-востоке Исландии 6 сентября 1984 года. Фото Майкла Райана, 1984 (Геологическая служба США).



Гавайские два крупнейших щитовых вулкана— Мауна-Лоа (на заднем плане, к югу) и Мауна-Кеа. Мауна-Лоа, крупнейший действующий вулкан в мире, обладает классическим пологим профилем щитового вулкана, сформированного многократными извержениями тонких, перекрывающих друг друга лавовых потоков. Мауна-Кеа также является щитовым вулканом, образованным тем же образом, но её профиль был изменён поздними эксплозивными извержениями, создавшими серию шлаковых конусов, венчающих её вершину.

Фото: Дон Суонсон (Геологическая служба США).



Щитовой вулкан Олимп (Олимпус) на Марсе самый большой из известных вулканов в Солнечной системе. Он занимает площадь, как весь гавайский архипелаг, а высота в 3 раза больше, чем у Джомолунгмы. Вершину вулкана венчает огромная кальдера, края которой расположены на высоте 24 километра. Кальдера имеет 80 км в диаметре и глубину 2.4-2.8 км. Сам вулкан имеет основание около 550 км в диаметре. При этом, склоны его очень пологие, как у всех щитовых вулканов, 2-5 градусов.



Карымский стратовулкан, Камчатка



Ключевской стратовулкан, Камчатка



Вулкан Майон на Филиппинах — один из хороших примеров классического конического стратовулкана на Земле.

Фото: Крис Ньюхолл, 1993 г. (Геологическая служба США).



Два самых высоких вулкана Камчатки. **Каменский вулкан** (слева) был сформирован в плейстоцене и сильно разрушен эрозией.

Ключевской вулкан является одним из самых молодых и активных вулканов Камчатки— за последние 6000 лет он вырос до высоты 4835 м. Фото: Юрий Дубик (Институт вулканологии, Петропавловск).

Морфология лавовых потоков

Морфология лавовых потоков зависит от состава магмы, её вязкости и температуры;

Полимеризация SiO_4 -тетраэдров $\uparrow \rightarrow$ вязкость \uparrow

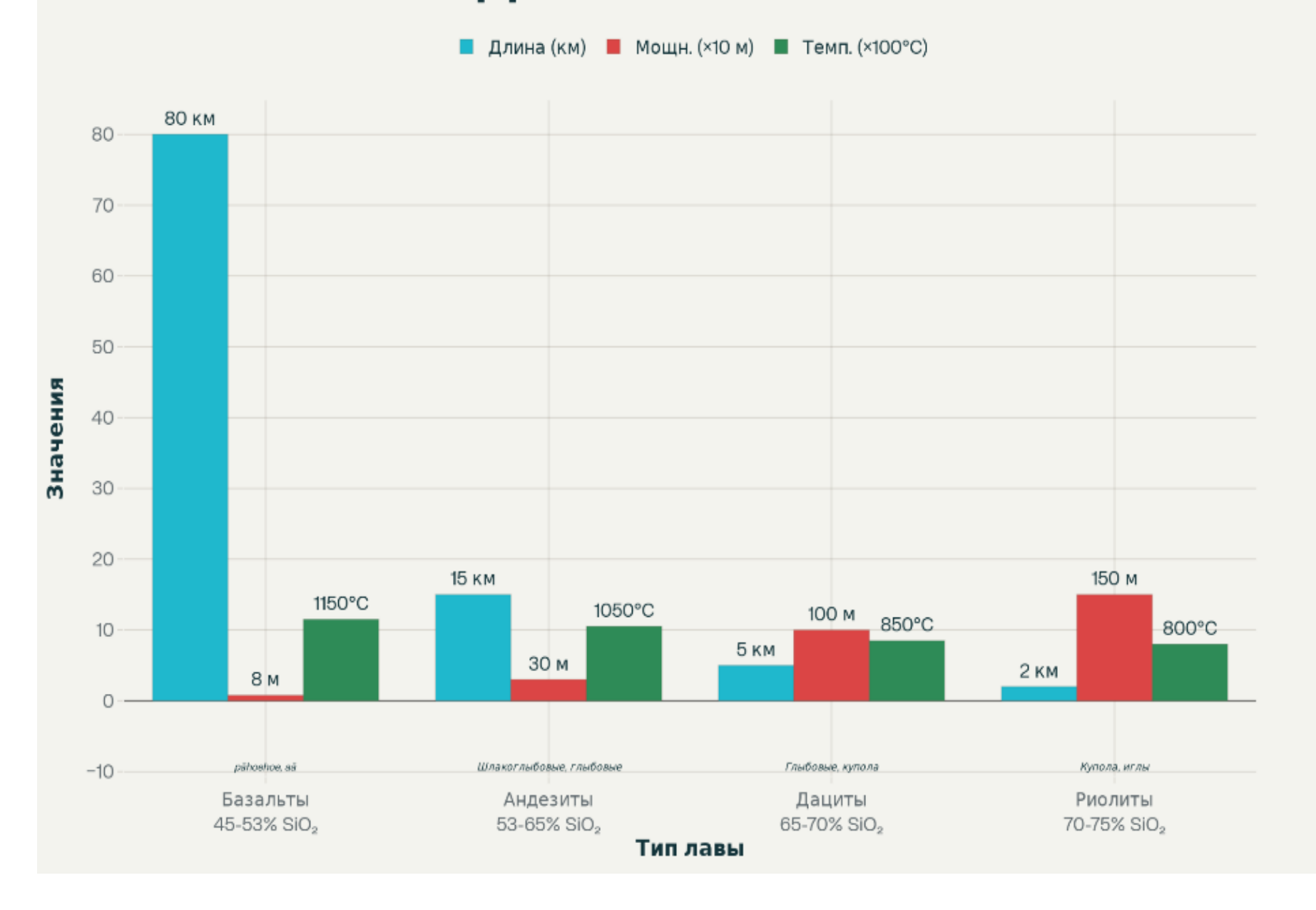
Вязкость лавы:

• Базальт: низкая

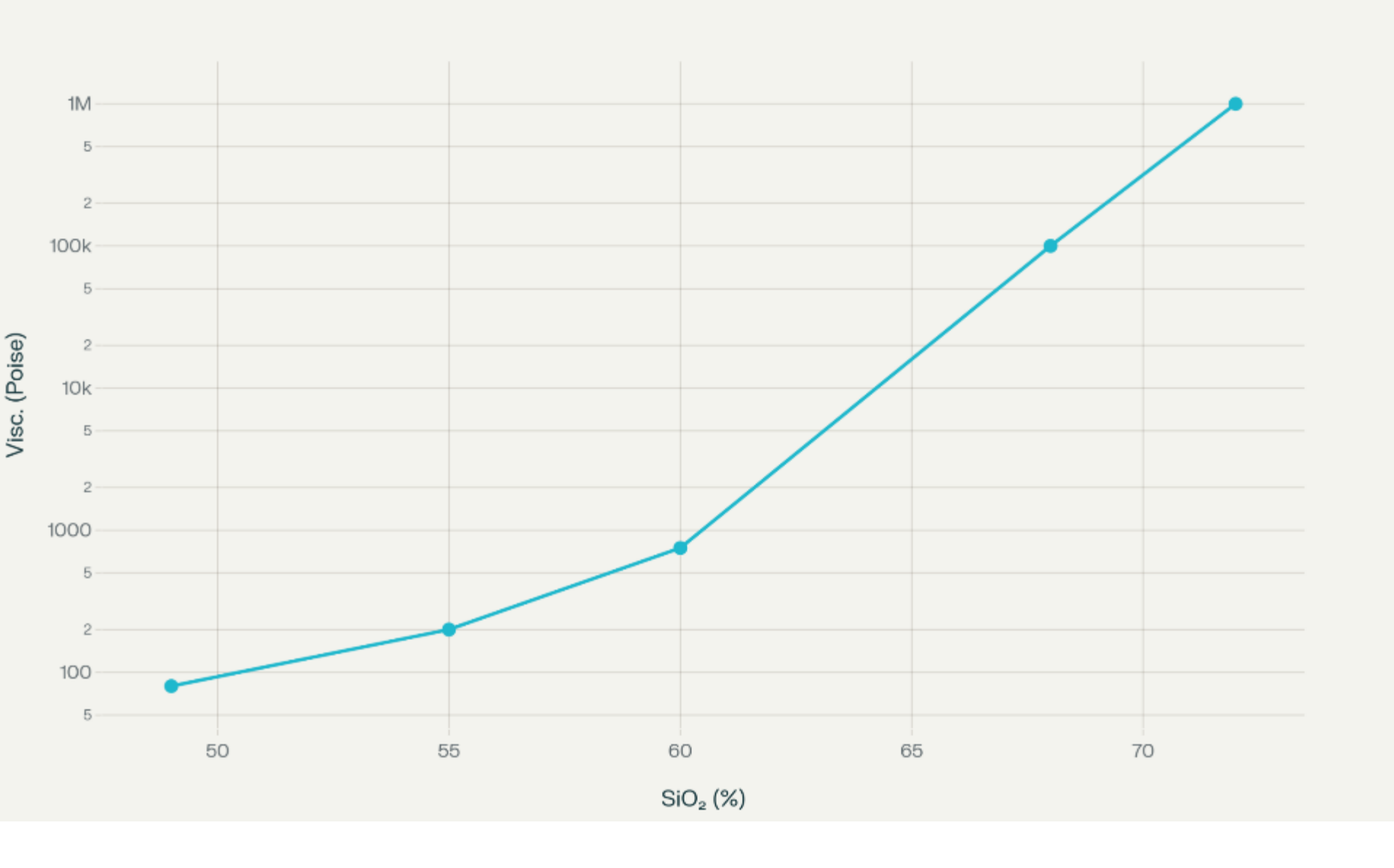
• Андезит: средняя

• Риолит: очень высокая

Морфология лавовых потоков



Magma Visc. vs SiO₂



Температура извержения

• Базальт: 1100-1200°C

• Андезит: 900-1100°C

• Риолит: 700-900°C

ПОКРОВЫ

ПОКРОВЫ связаны, как правило, с вулканами трещинного типа и щитовыми вулканами



вулкан Килауэа. Лавовые покровы. Фото: Гавайская вулканическая обсерватория.



Исландия. Покровы. S покровов может быть от 100 до 1000 кв.км и больше, мощности – от первых м до 100 м.

ПОКРОВЫ

ПОТОКИ характерны для всех видов вулканов!



Потоки лавы распространяются от лавового фонтана вулкана Килауэа.

На гавайских островах длина отдельных потоков достигает 50 км при ширине 2,5 км, при небольшой мощности.

Фотография Дж. Д. Григгса, 2 июня 1986 года.



Фонтаны лавы вулкана Фернандина на Галапагосских островах в 1978 году питали пальцевидные (ветвящиеся) потоки лавы, которые продвигались по опущенному блоку северо-западной террасы кальдеры — примерно на 380 м ниже её края. Извержение началось 8 августа 1978 года и, по всей видимости, завершилось 26 августа. В течение извержения лавовые потоки прошли 2 км и достигли кальдерного озера, расположенного более чем на 400 м ниже.



вулкан Момотомбо в Никарагуа Фотография лавового потока 1905 года

Фото: Хайме Инсер, 1982 г.



вулкана Майон на Филиппинах

Ночной вид из города Легаспи 14 сентября 1984 года показывает лавовые потоки, спускающиеся по юго-западному склону.
Потоки лав среднего и кислого состава обычно менее протяжённые, поскольку такие лавы обладают более высокой вязкостью.

Фото: Норм Бэнкс, 1984 г. (Геологическая служба США).



Чилийский вулкан Лонкимай

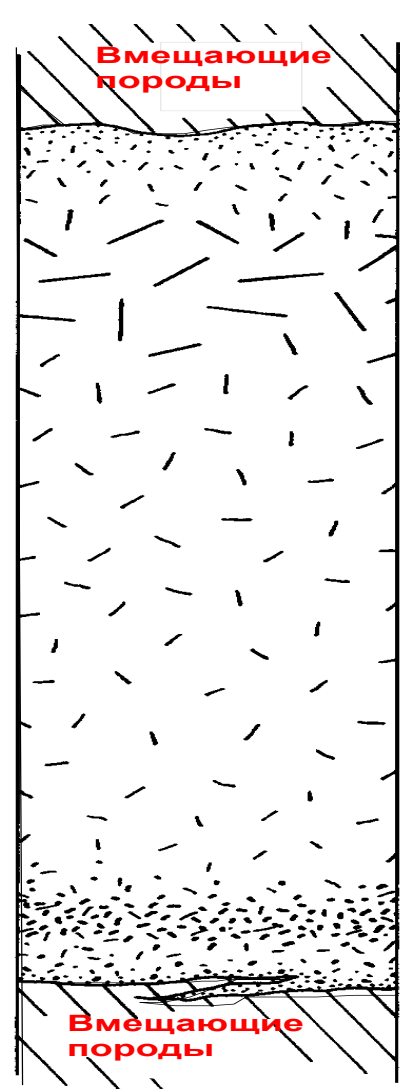
30—35-метровый по толщине и примерно 1 км по ширине лавовый поток. К моменту съемки, 25 марта 1989 года, поток прошёл около 7 км. Выброс лавы начался 27 декабря 1988 года — через два дня после начала извержения, которое продолжалось до января 1990 года. Скорость медленно движущейся фронтальной части потока экспоненциально уменьшалась по мере удаления от жерла. К окончанию извержения лавовый поток достиг расстояния в 10 км от источника.

Скорость течения базальтовых лав.

• Базальтовые лавы — до 40-60 км/час

• Средние и кислые лавы – первые км/час

Внутреннее строение потоков и покровов



Зона закалки с порами

Внутренняя зона всегда лучше раскристаллизована

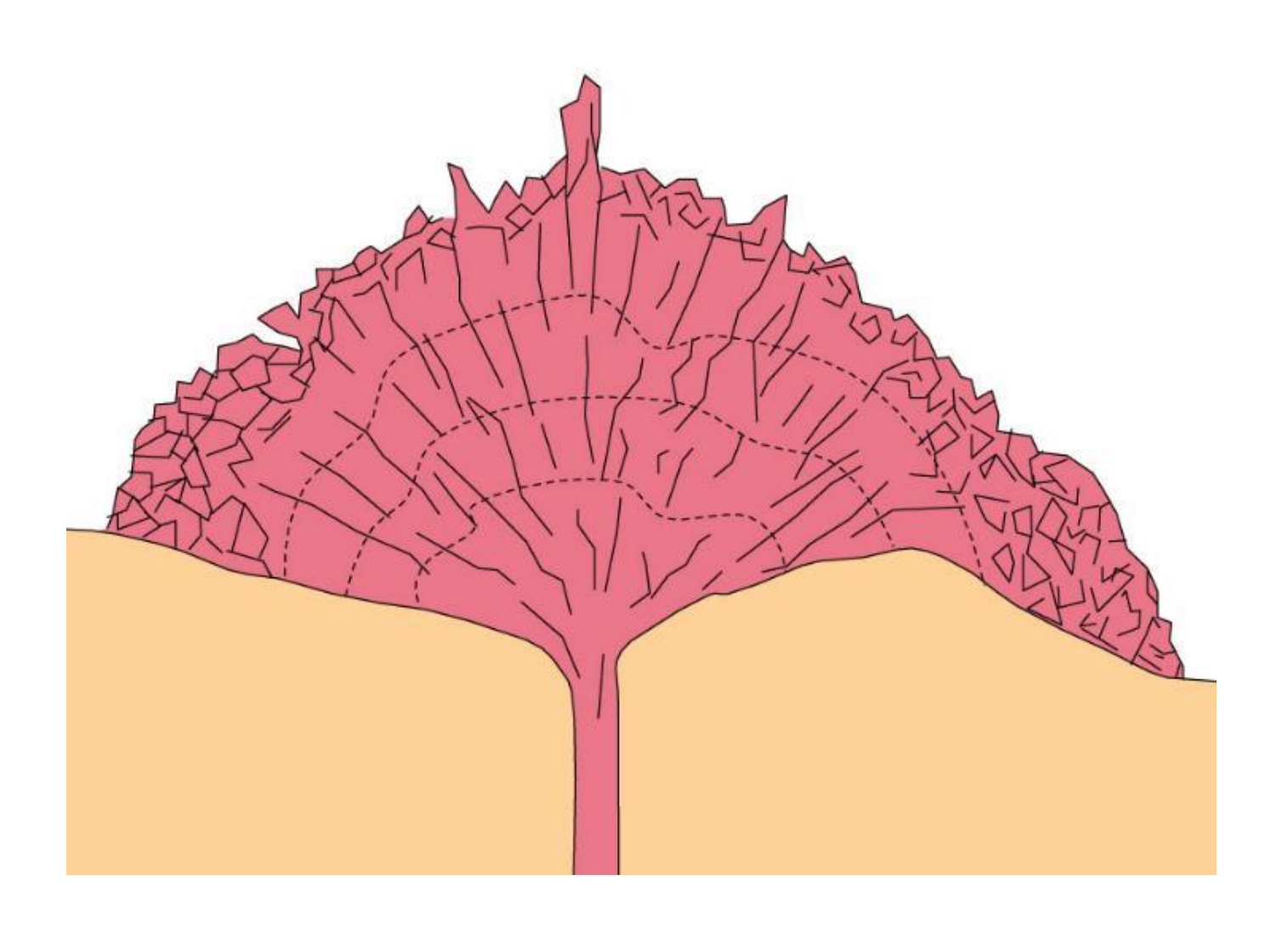
Зона закалки

Экструзивные КУПОЛА, ИГЛЫ, ОБЕЛИСКИ

• Высоты от 100 до 600 м

• Диаметр основания купола 1/2, 1/3 его высоты

Экструзивный купол





Экструзивный купол (слева) вулкана Шивелуч. Купол начал расти весной 2001 года. У подножия купола виден шлейф обломочного материала, сформировавшийся в результате частичного обрушения купола при выжимании новых порций лавы.



Купол Новый на влк. Безымянный рос с 1956 по 1963 г. с максимальой скоростью вначале, когда за 3 месяца он вырос на 300 м.

Фото: Юрий Дубик (Институт вулканологии, Петропавловск).



Свечение раскалённой лавы видно в трещинах растущего лавового купола в кратере горы Святой Елены 18 октября 1980 года. На фотографии запечатлены начальные стадии формирования купола.

Фото: Терри Лейли, 1980 г. (Геологическая служба США).

Купола лавы образуются в результате выдавливания вязкой, богатой кремнезёмом магмы. Экструзия купола часто происходит после эксплозивных извержений, которые уменьшают содержание газов в оставшейся магме. Однако рост лавовых куполов нередко сопровождается взрывной активностью и пирокластическими потоками.

Фото: Боб Саймондс, 1983 г. (Геологическая служба США).



Главные морфологические разновидности потоков базальтовых лав

В наземных потоках выделяются две главные морфологические разновидности потоков базальтовых лав:

- Волнистые, часто переходящие в канатные
- Глыбовые или блоковые

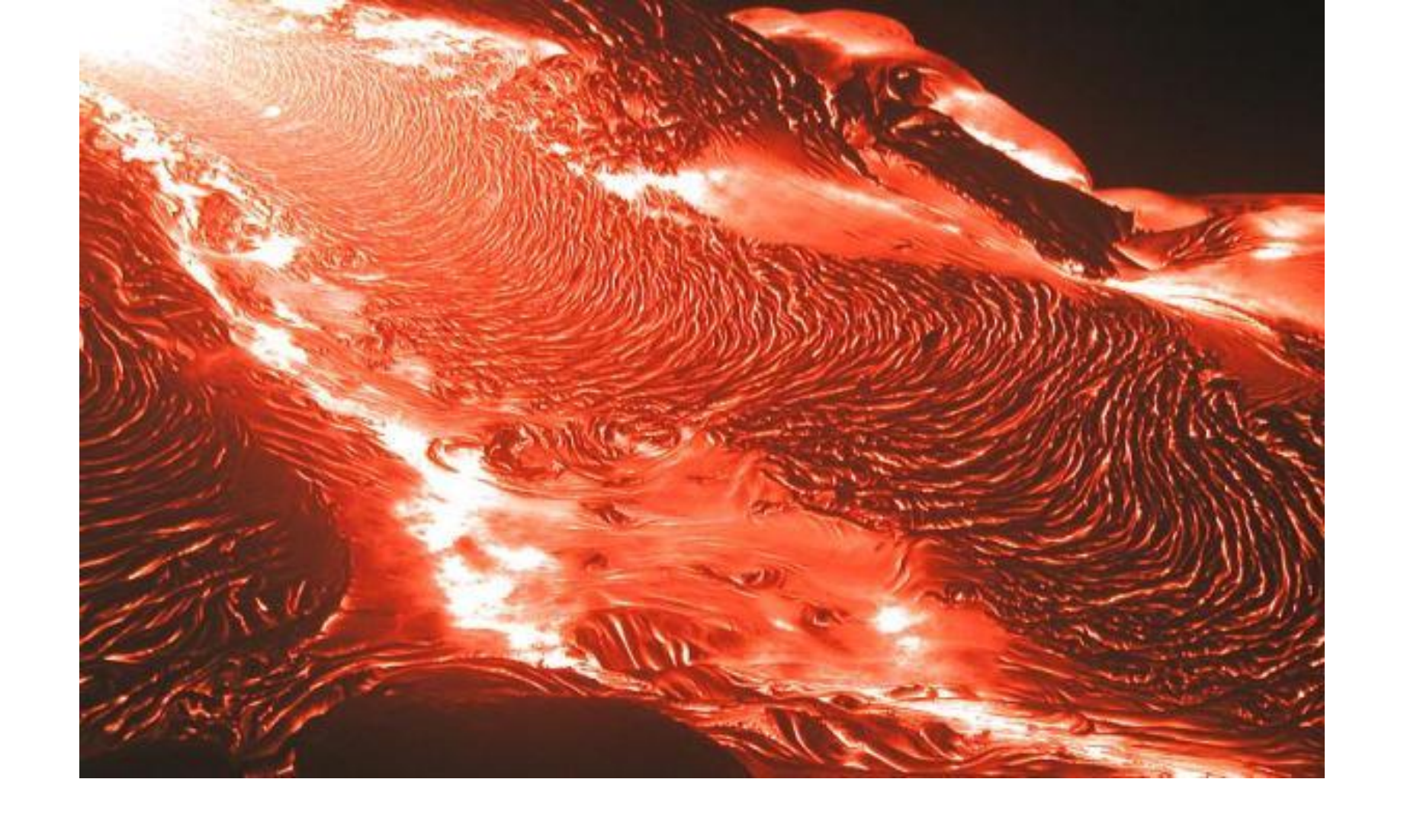
Волнистые потоки, часто переходящие в канатные



вулкан Килауэа, Гавайи

9 ноября 2002 года фронт лавового потока "Дня Матери" начал сдвигаться вправо и за последние 24 часа продвинулся на 140 метров. Поверхность потока имеет замысловатые морщинистыми складками, возникшими за счет деформации во время течения.

Видимая ширина фотографии 1-1.5 метра. (по данным М.Ю.Плечова)



Поток базальтов вулкана Килауэа, Гавайи. 15 сентября 2002г.



Горячая базальтовая лава с элементами канатного строения поверхности

Глыбовые или блоковые



Глыбовое строение поверхности потока



Вулкан **Мерапи**

Блочный лавовый купол, сформировавшийся во время извержений 1972—1985 годов, располагается внутри кратера вулкана Мерапи в центральной Яве.

Фото: Том Казадевалл, 1986 г. (Геологическая служба США).



Глыбовое строени поверхности потока



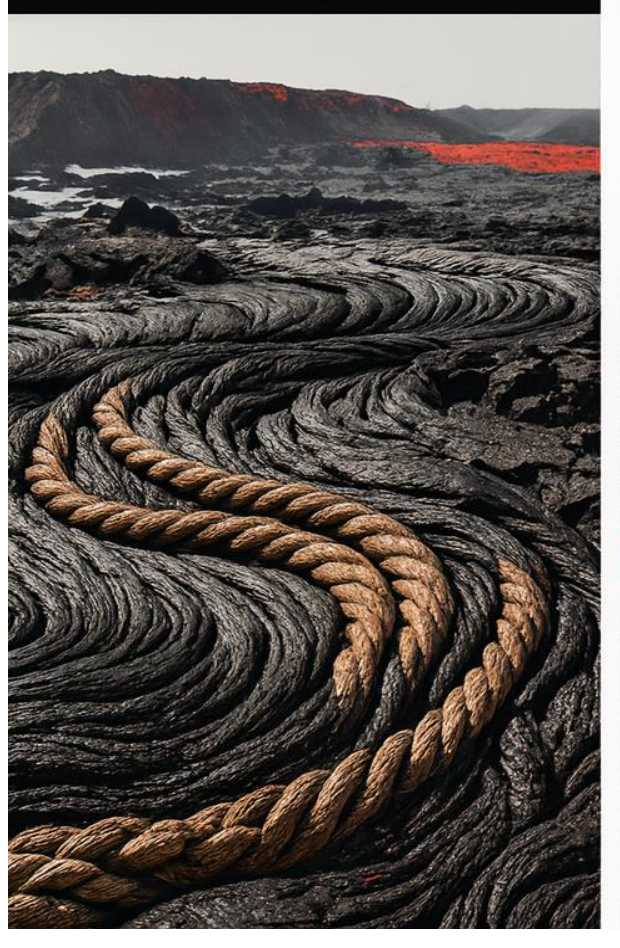
Ход блочного лавового потока, сформировавшегося во время извержения мексиканского вулкана Колима в 1975—76 годах, хорошо виден в центре снимка — он спускается сквозь растительность. Поток возник на вершине купола Колимы и прошёл 3,5 км по её юго-восточному склону.

Фото: Джим Лур, 1983 г. (Смитсоновский институт).

Гладкая пахохоэ: Волнообразная тя текстураа

Зубчатая Пики и блоки

Блочный прямоугольные блоки







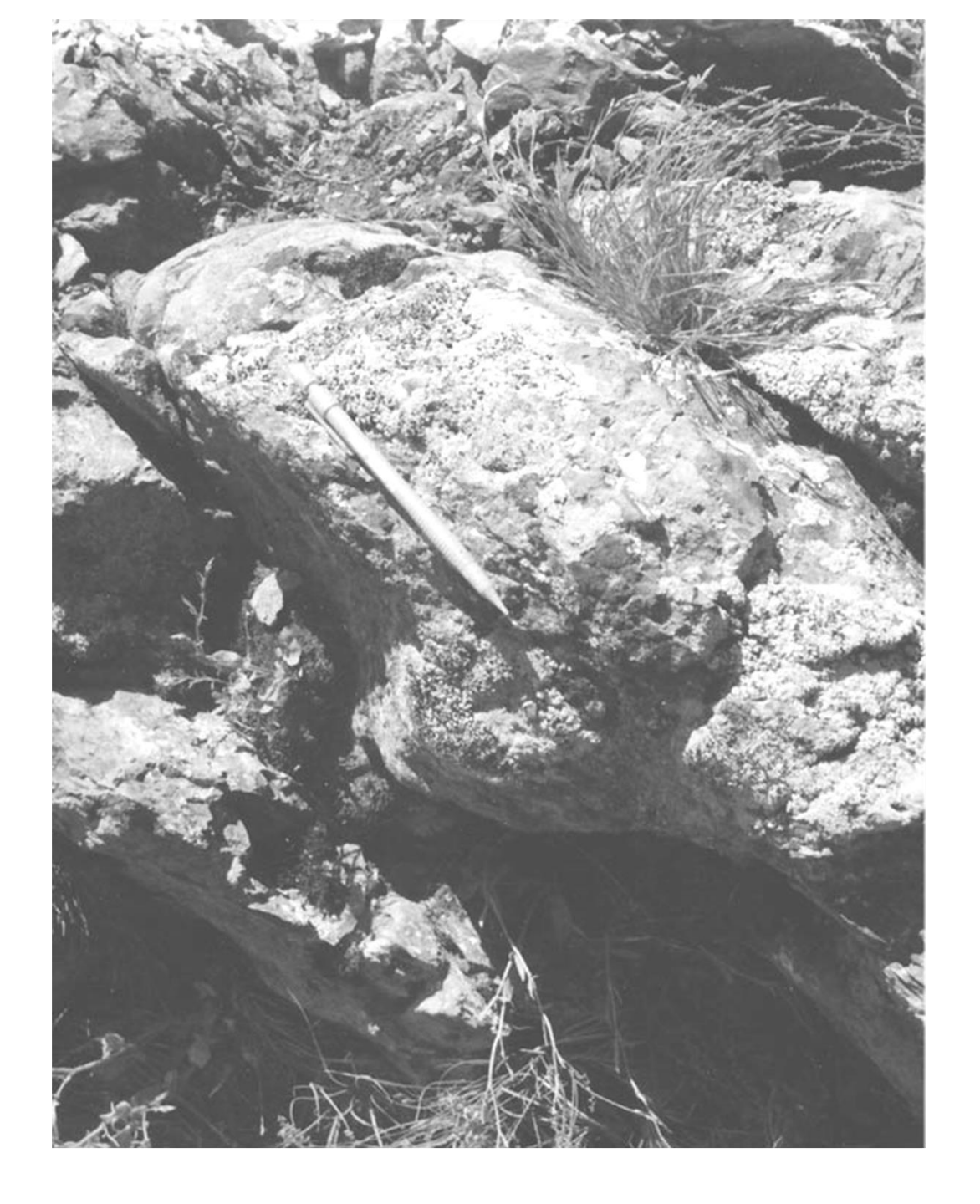
Схематичное изображение различного строения лавовых потоков

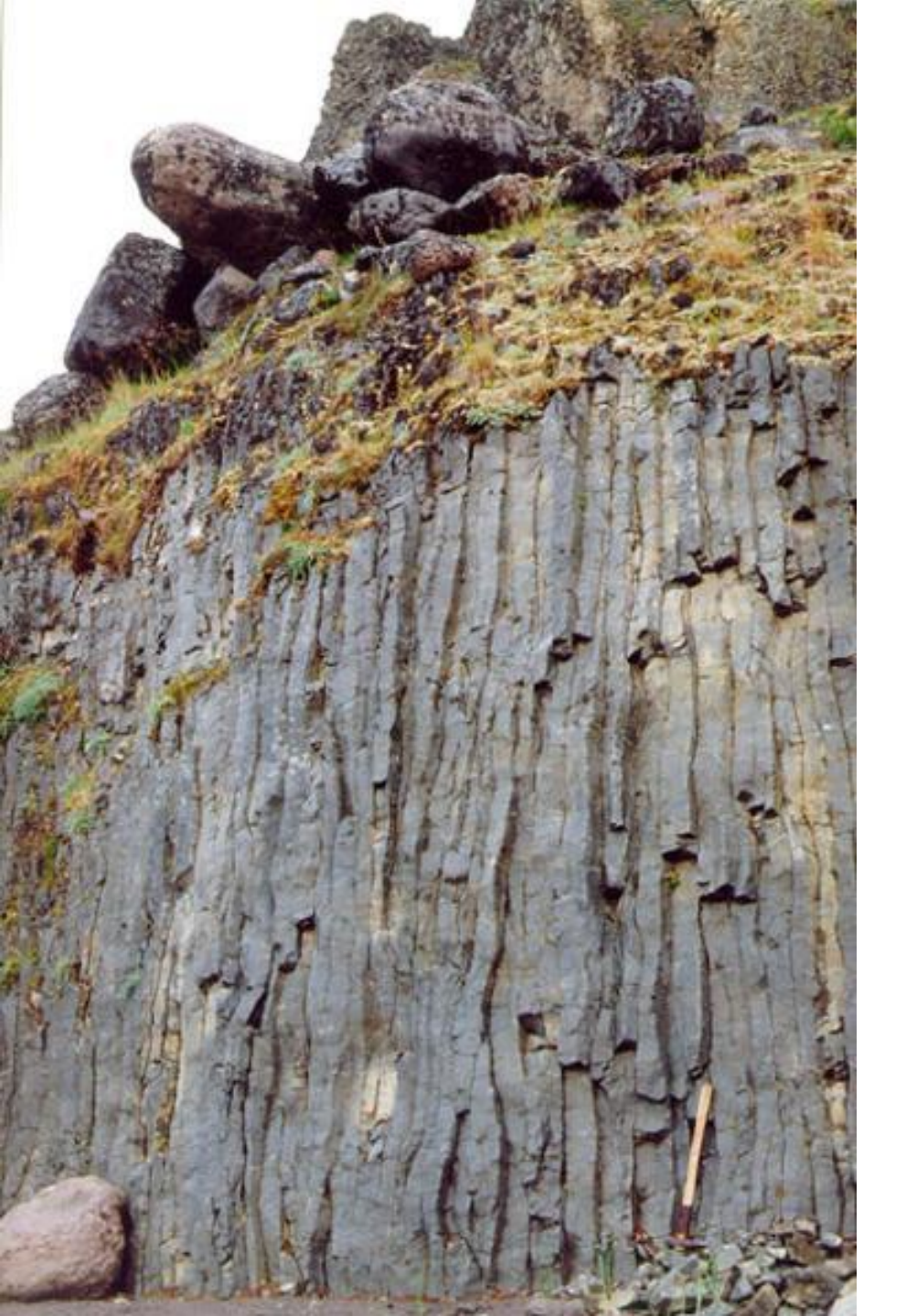


Для подводных излияний наиболее характерны шаровые или подушечные лавы



Шаровая отдельность базальтовых лав





Для базальтовых потоков как наземных, так и подводных весьма характерна столбчатая вертикальная отдельность, поперечная к поверхности потоков. Потоки, обнаруживающие этот тип отдельности, расчленяются на ряд полигональных колонн, до десятков метров в высоту, различного диаметра.

Результатом эксплозивной деятельности являются пирокластические породы, которые связаны со стратовулканами. Увлекаемая газовыми выбросами жидкая или затвердевшая лава разрывается на части и разлетается на различные расстояния. При этом эндогенный, вулканический материал, попадая в воздушную или водную среду, отлагается, подвергаясь осадочной дифференциации: более крупные обломки и глыбы оседают вблизи источника извержений, более мелкие—уносятся на большие расстояния.



Вулкан Макиан

Мощная колонна извержения поднимается над индонезийским вулканом Макиан на этом снимке, сделанном 31 июля 1988 года с соседнего острова Моти. Шестидневное извержение началось 29 июля, создавая столбы пепла, которые поднимались на высоту 8–10 км. Пирокластические потоки 30 июля достигли побережья острова, жители которого около 15 000 человек — были заранее эвакуированы. В завершение извержения в кратере был выдавлен уплощённый лавовый купол.

Фото: Виллем Рохи, 1988 г. (Служба вулканологии Индонезии).



Вулкан Нгаурухое в Новой Зеландии

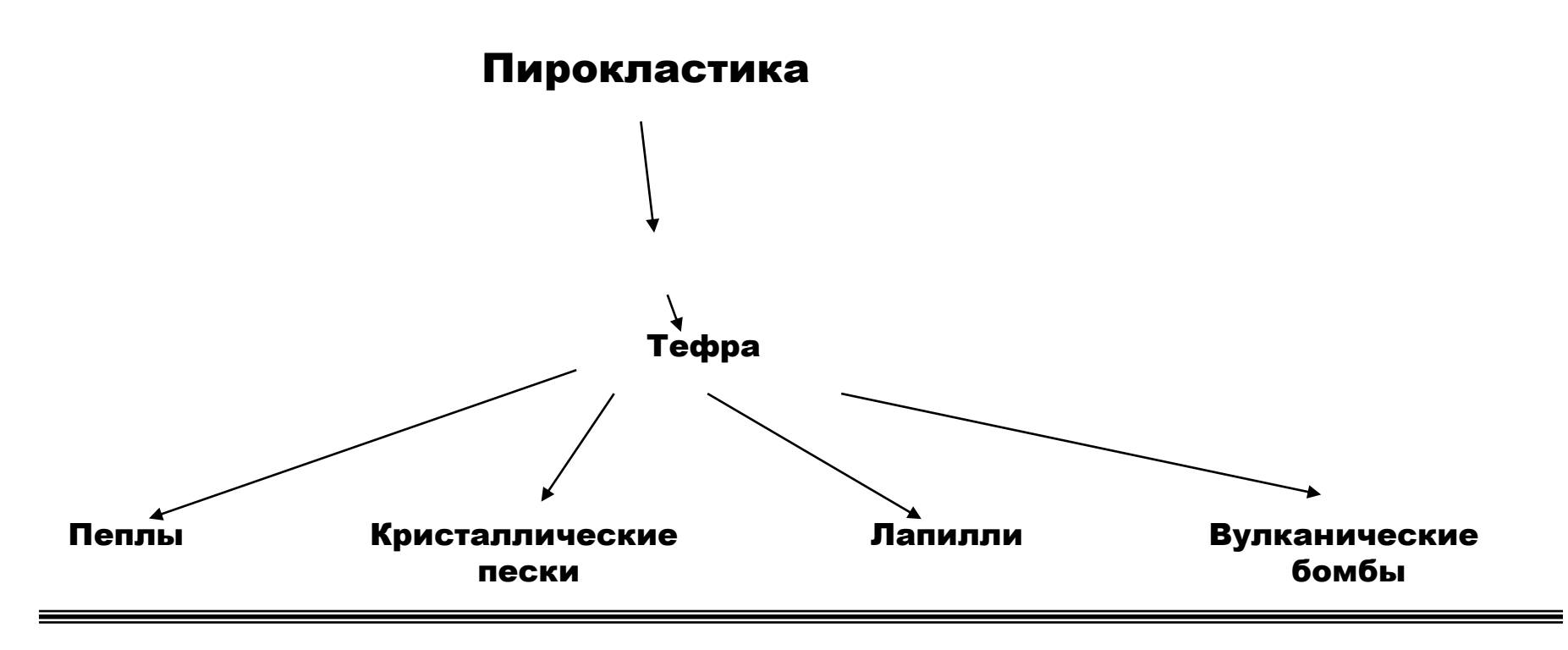
Вулканический взрыв 19 февраля 1975 года выбрасывает тёмное облако, насыщенное пеплом. В колонне извержения видны крупные, метрового масштаба блоки, за которыми тянутся шлейфы пепла. Блоки размером до 20 метров были выброшены на сотни метров над жерлом.

Фото: Иэн Нэрн, 1975 г. (Геологическая служба Новой Зеландии).



Небольшой пирокластический поток на склоне вулкана Майон, Филипины.

Фото: Крис Ньюхолл, 1984 г. (Геологическая служба США).



Туфы

Витро-	Кристалло-	Лито-	Кластические
Агглютинаты			

Туффиты





Пепел – 0,01-10 мм

Лапилли – 10-100 мм



Валуны и бомбы 100-1000 мм

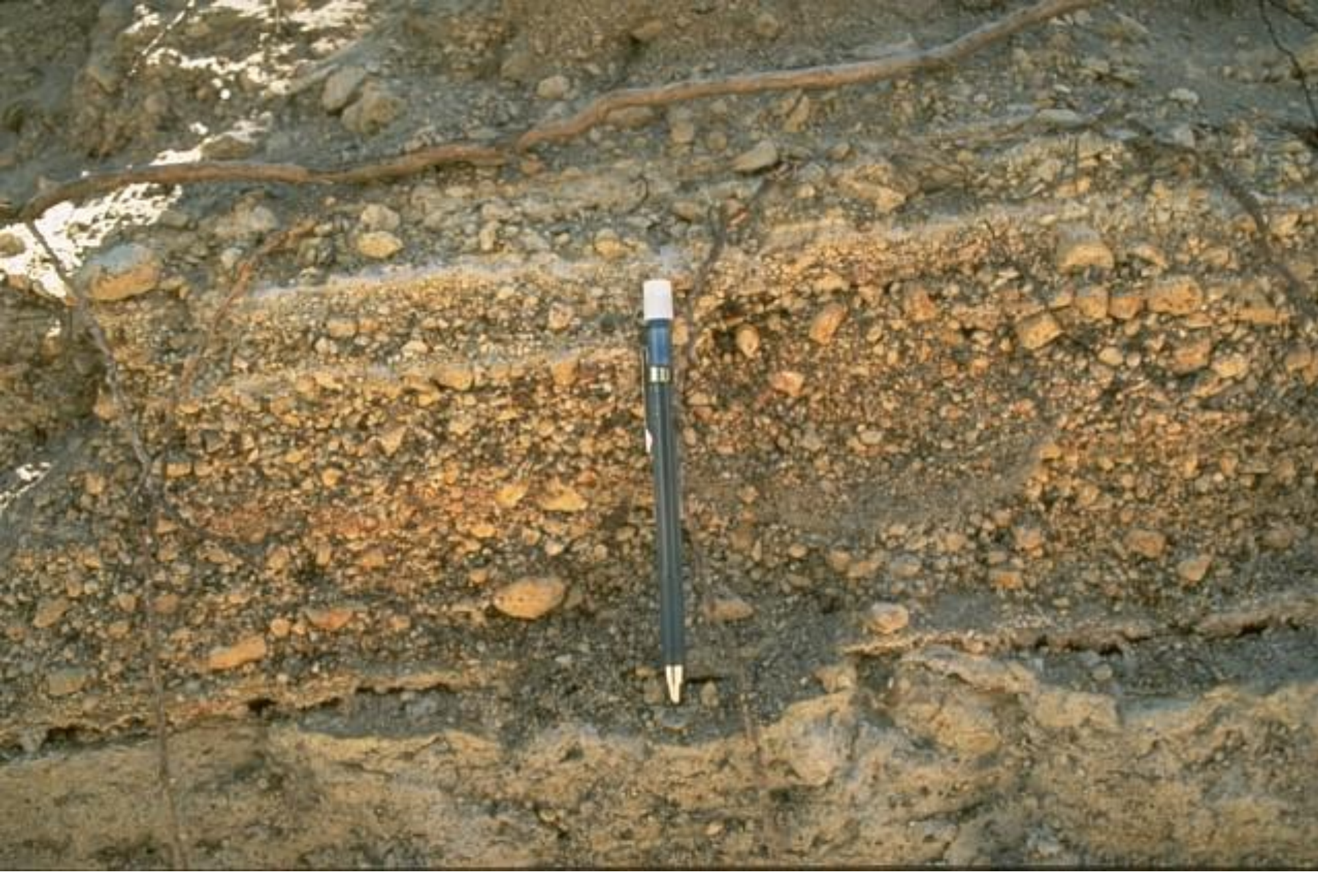


Вулканическая бомба, во время полета находившаяся в пластичном состоянии. Найдена на Толбачинском долу, припаянной к толще базальтовой пирокластики.

фото Миронова Н.Л.

Пирокластика образует

- Пласты
- Линзы
- Потоки
- Языки



Горизонт пирокластических пород в разрезе



Несогласные пирокластические отложения на склоне одного из вулканов Японской дуги.

78

Вулканогенно-осадочные породы

• продукты отложения (или переотложения) вулканогенного материала в водной среде



Подпись под фотографией.

Формы залегания интрузивных пород

Формы залегания магматических пород определяются по

- поверхность
- гравика
- -магнитка

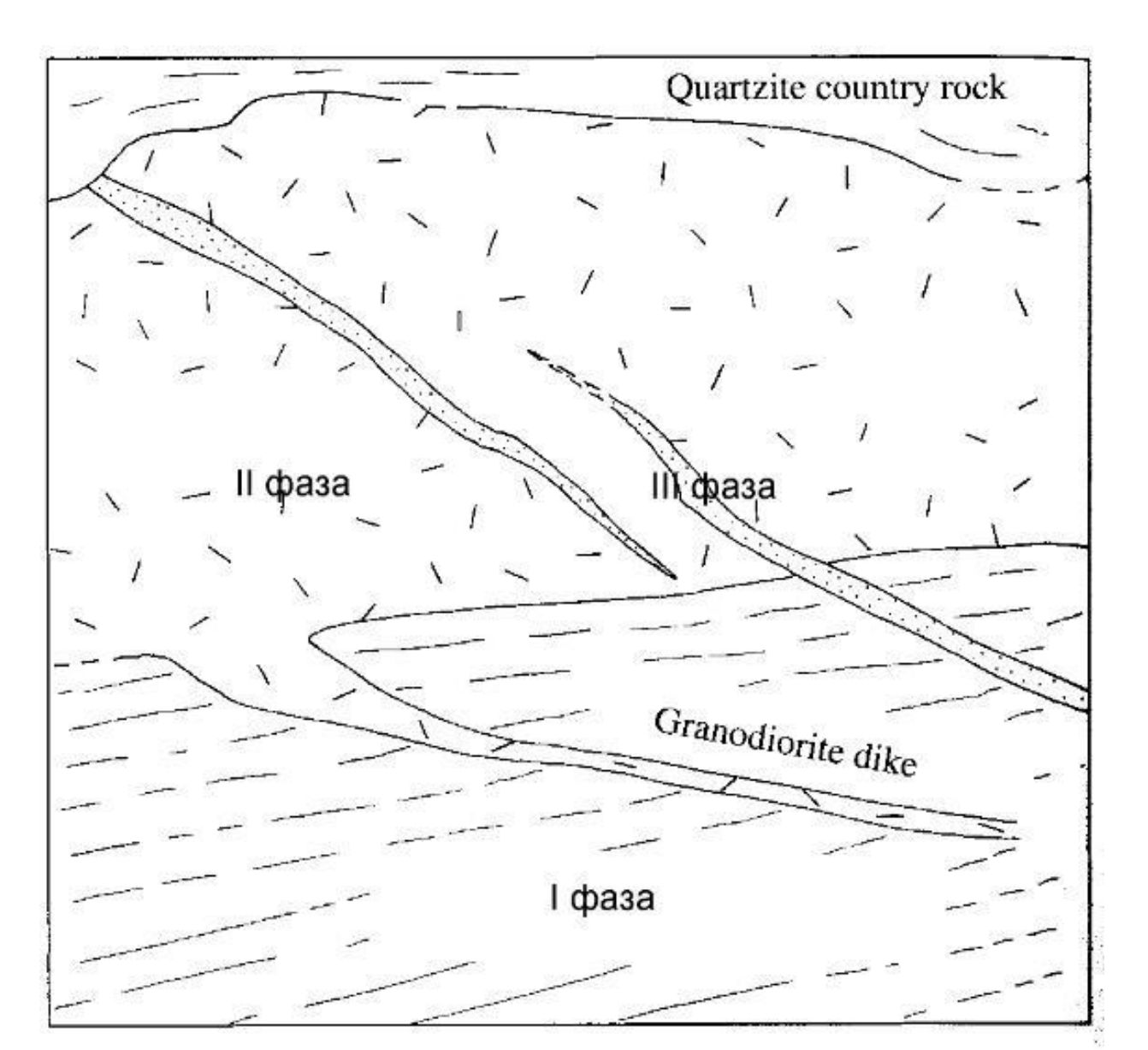
Форма залегания магматических пород зависит от:

- состава расплава
- геологических условий (гл. обр. от глубинности)

Фации глубинности

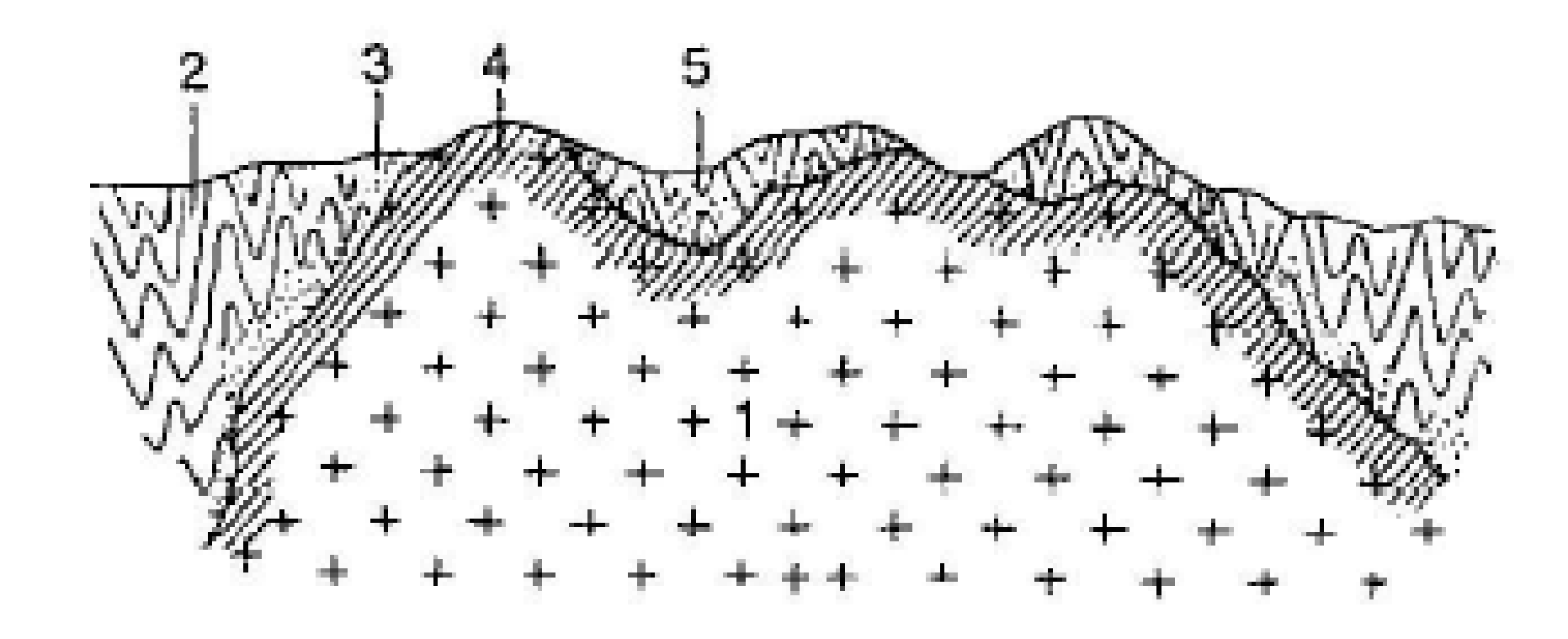
- Гипабиссальные небольшие глубины (1-3 км)
- Мезабиссальные (3-7 км)
- Абиссальные глубинные (8-10 км)

Фазы и фации интрузивных пород



Фаза — порция последовательно внедряющегося расплава

Фация – порция расплава (объем породы), застывшая в определенных физико-химических условиях



Фации могут быть – главная (ядро), эндоконтактовая, апикальная, донная и т.д.

А. Несогласные (дискордантные)

Некки

Дайки

Жилы, апофизы

Штоки

Батолиты

Растет глубина

Б. Согласные (конкордантные)

Силлы

Лополиты

Лакколиты

Мигматит-плутоны

Растет глубина

Несогласные (дискордантные) интрузивные тела

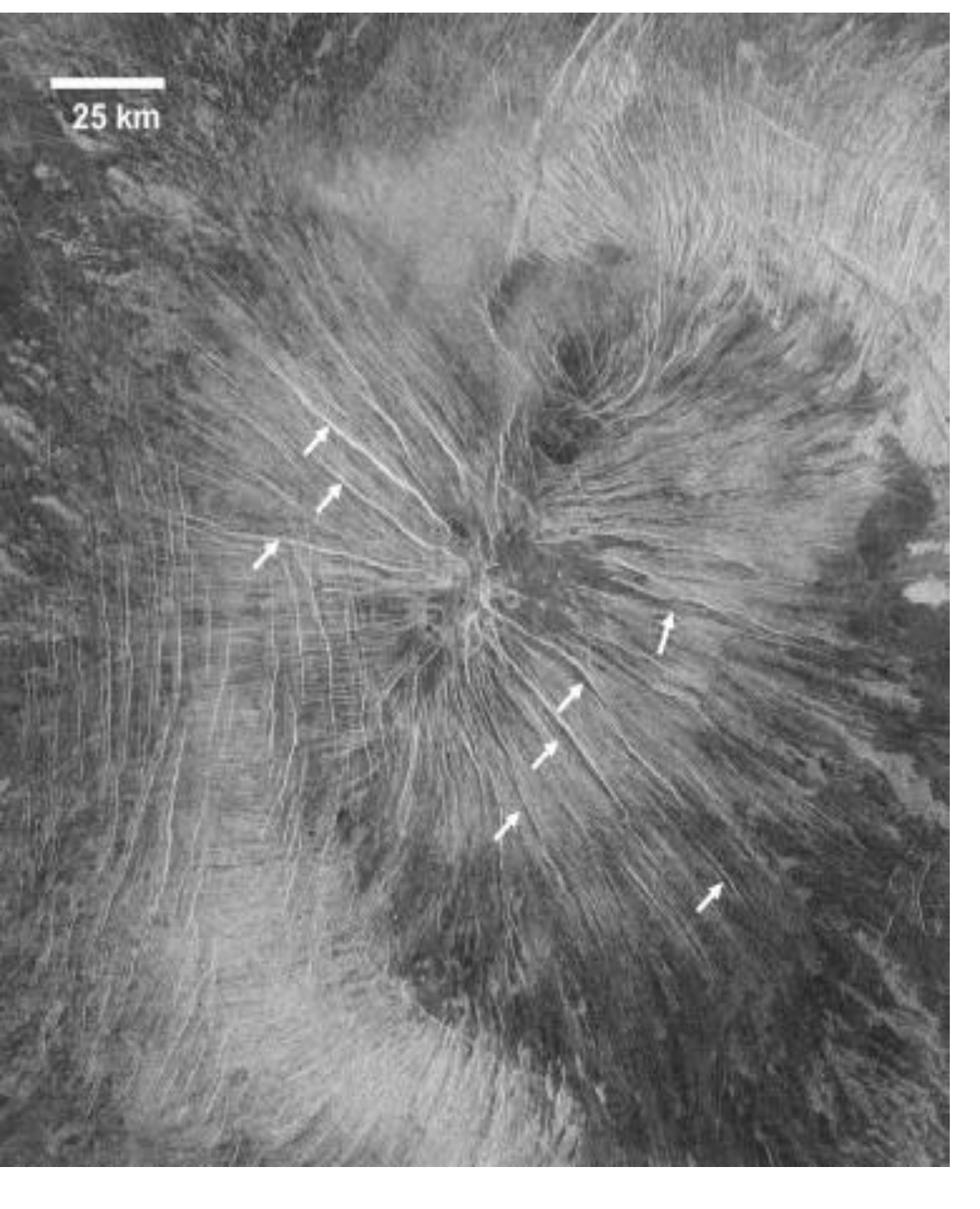
Некк – п м - км





Дайка — тело, ограниченное крутопадающими параллельными стенками т = n м - nx100 м — n км l = n м - nx10 км Дайки бывают — одиночные



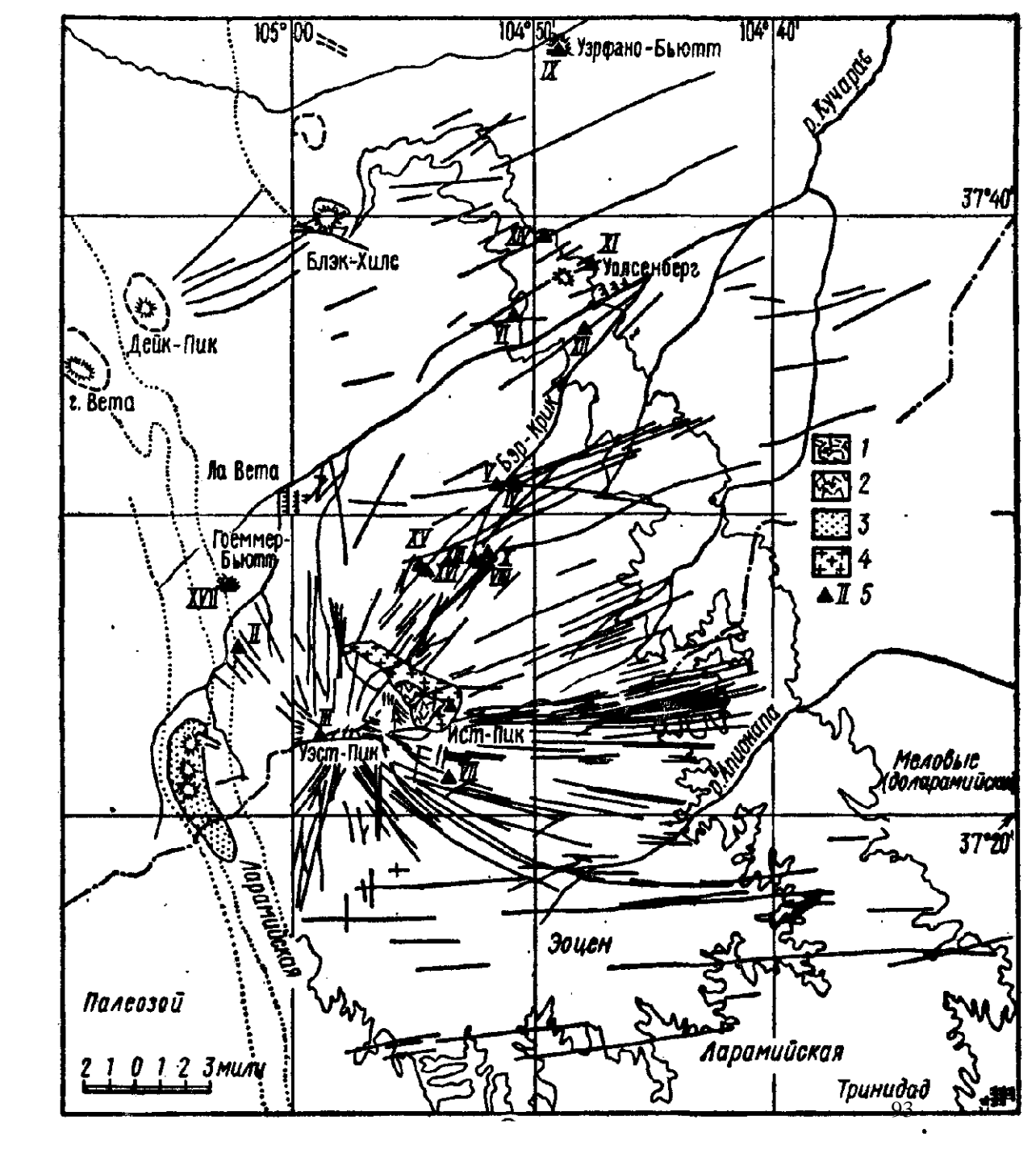


Групповые дайки обычно развиваются по системе параллельных трещин.

Радиальные дайки обычно приурочены к вулканическим центрам или к интрузивным массивам

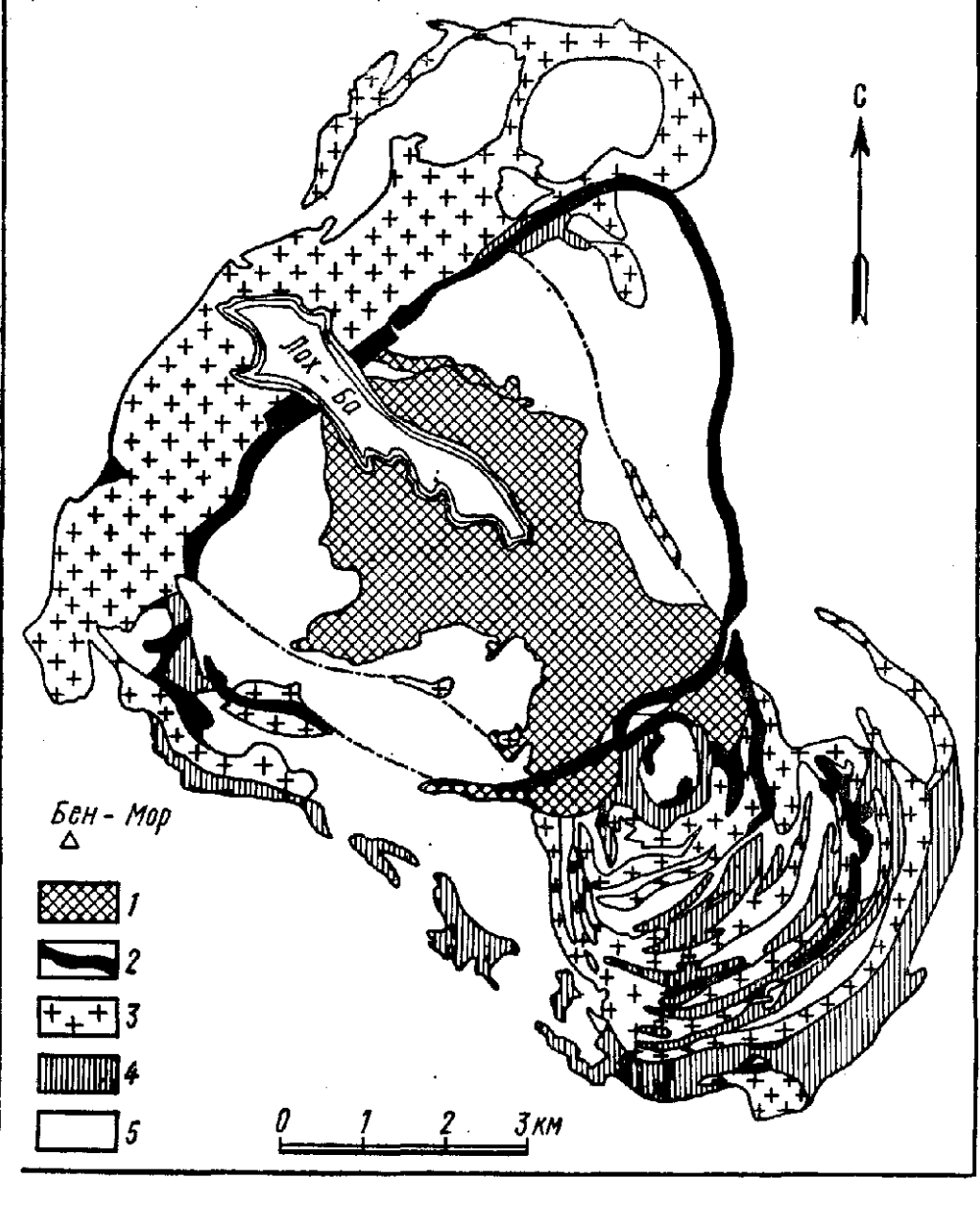
Радарное изображение Магеллана горы Мбокому (Мьокоти Мопs) — типичный пример крупного радиального роя даек на Венере (исходные данные NASA/JPL). Белые стрелки указывают на радиальные трещины, которые интерпретируются как деформации, вызванные присутствием подповерхностных даек.

Радиальные дайки обычно приурочены к вулканическим центрам или к интрузивным массивам

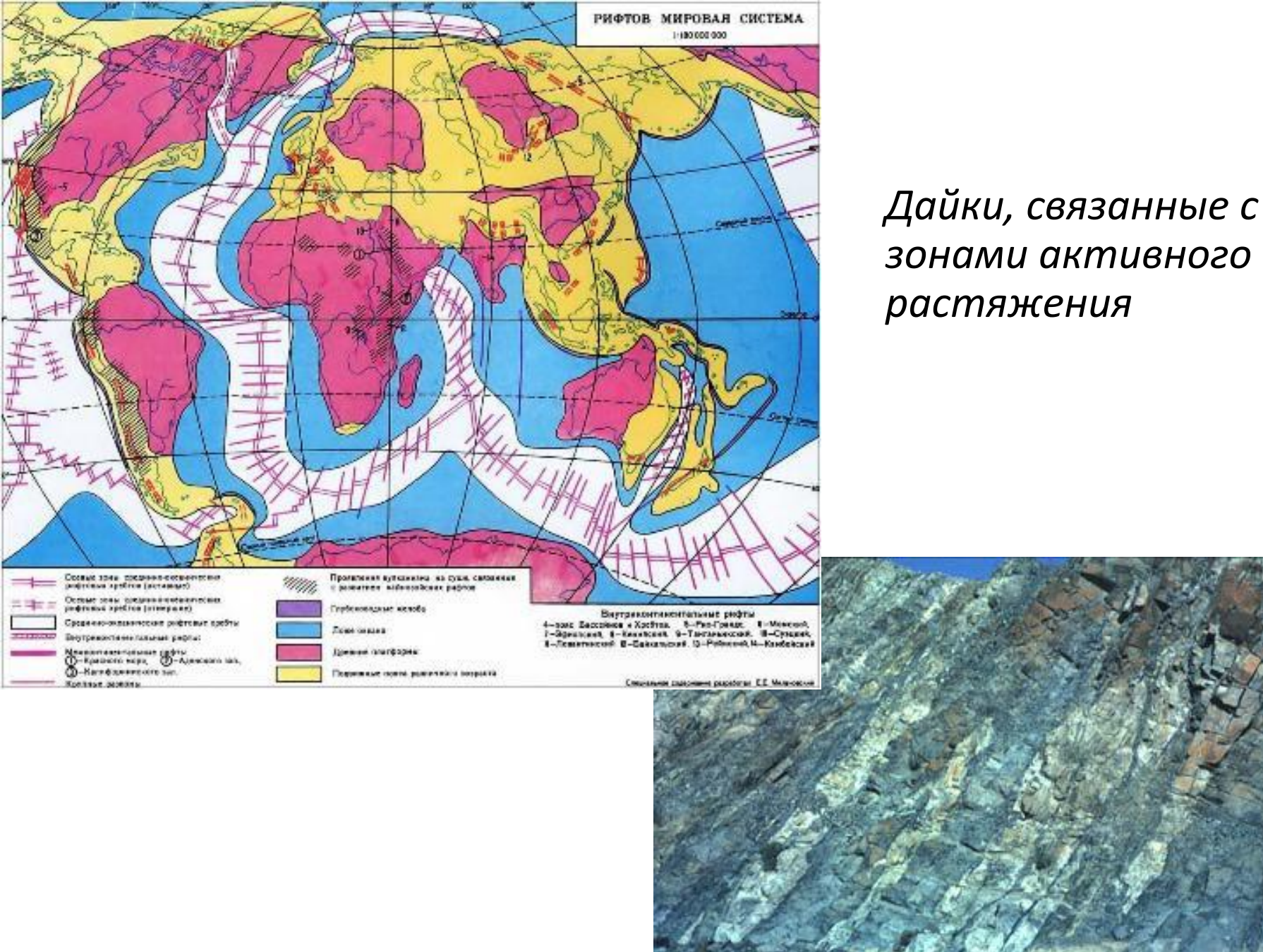


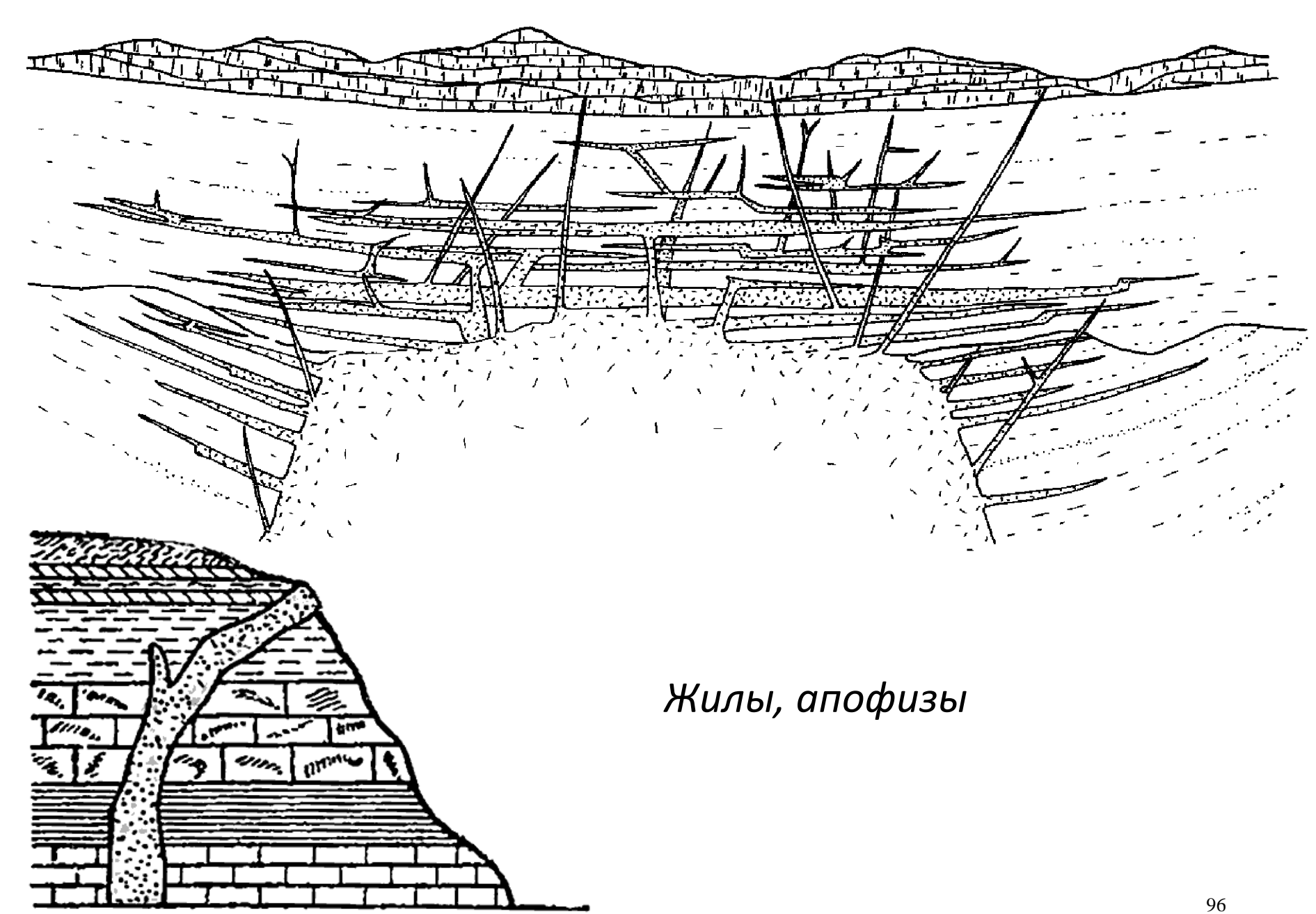
Кольцевые дайки имеют в плане форму дуги или замкнутого кольца. Падение таких даек вертикальное или крутое. Их образование связано с опусканием центрального блока интрузивного массива (или образованием кальдеры) и появлением трещин растяжения.





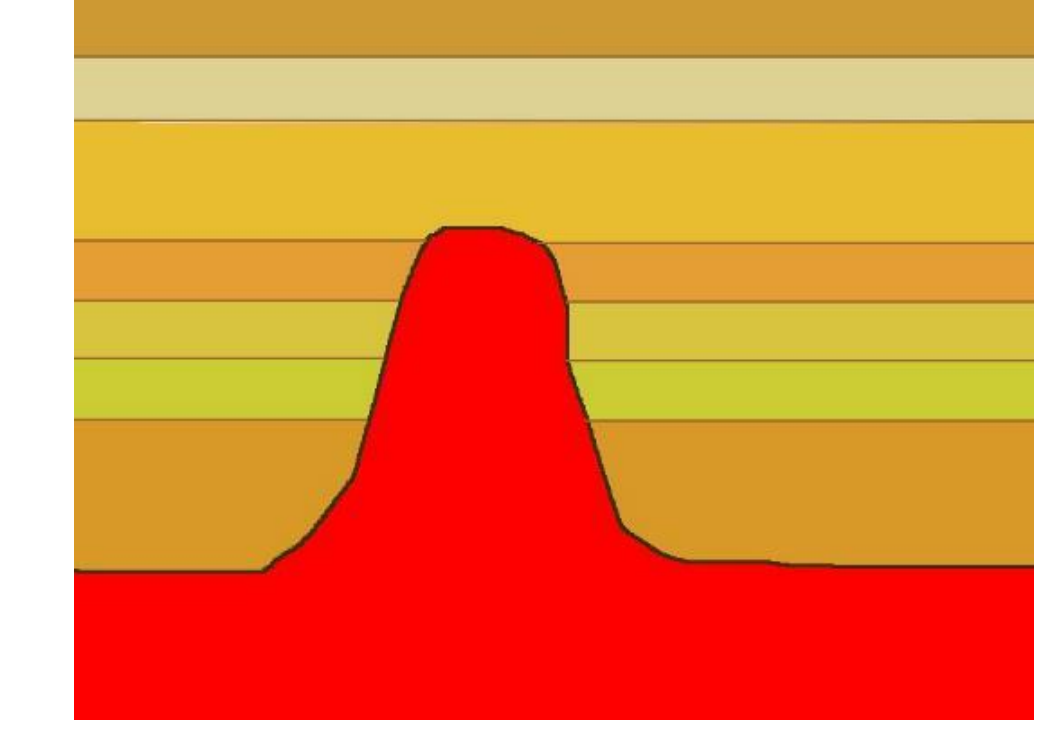
Кольцевой дайковый комплекс Пиланесберг в Южной Африке





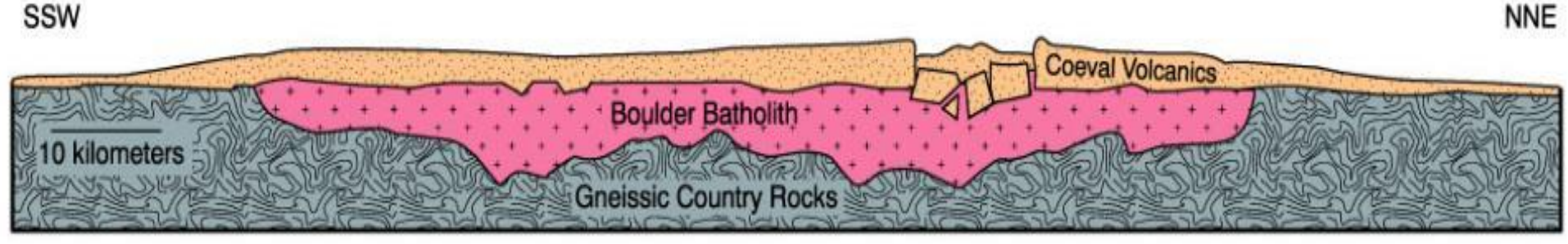
Шток -

форма близка к цилиндрической, стенки крутопадающие, имеет значительное протяжение на глубину. S – не более 100 кв. км





Батолиты



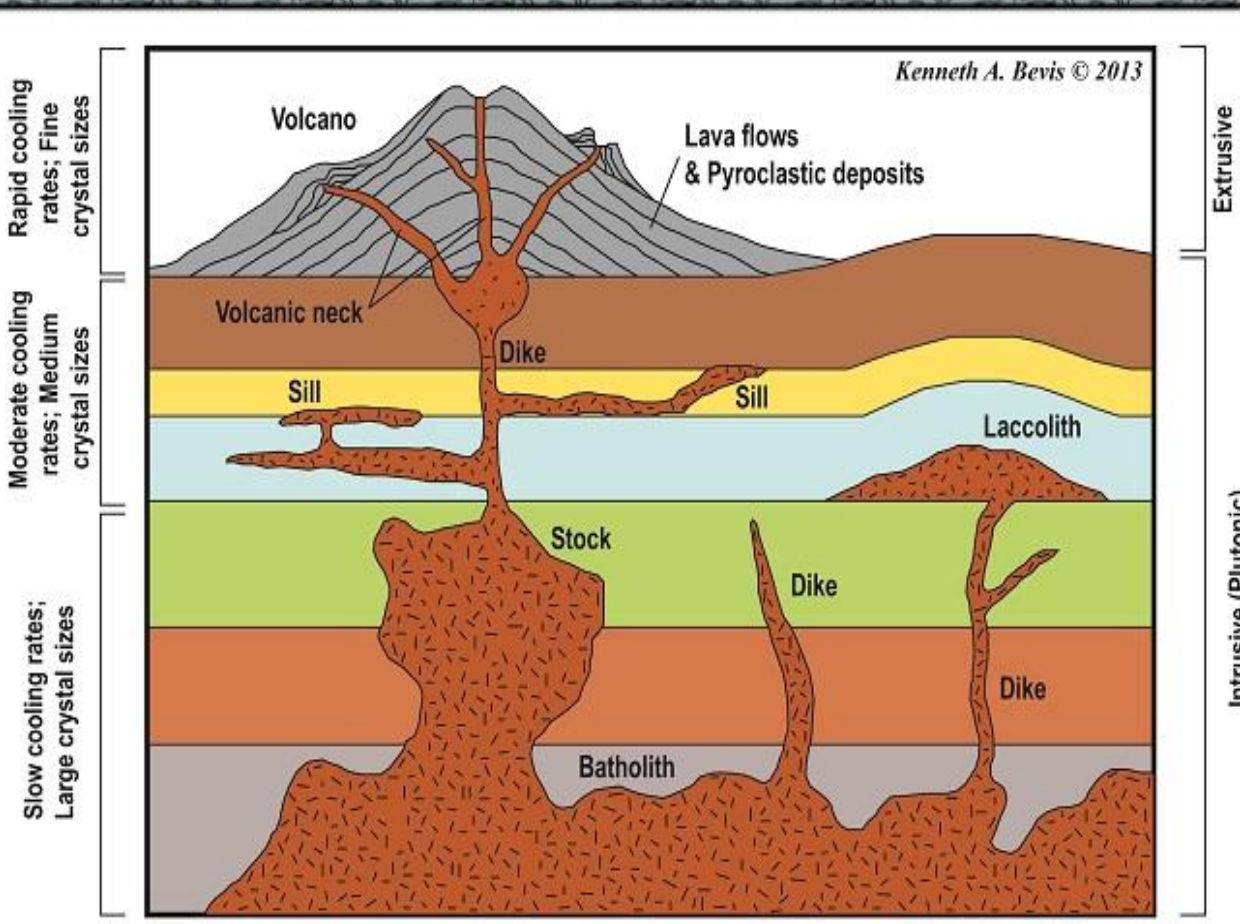
В плане имеют неправильную, часто изометричную форму.

Анды. 1100х110 км

Moderate cooling rates; Medium

Slow cooling rates; Large crystal sizes

Аляска. 2000x200 км

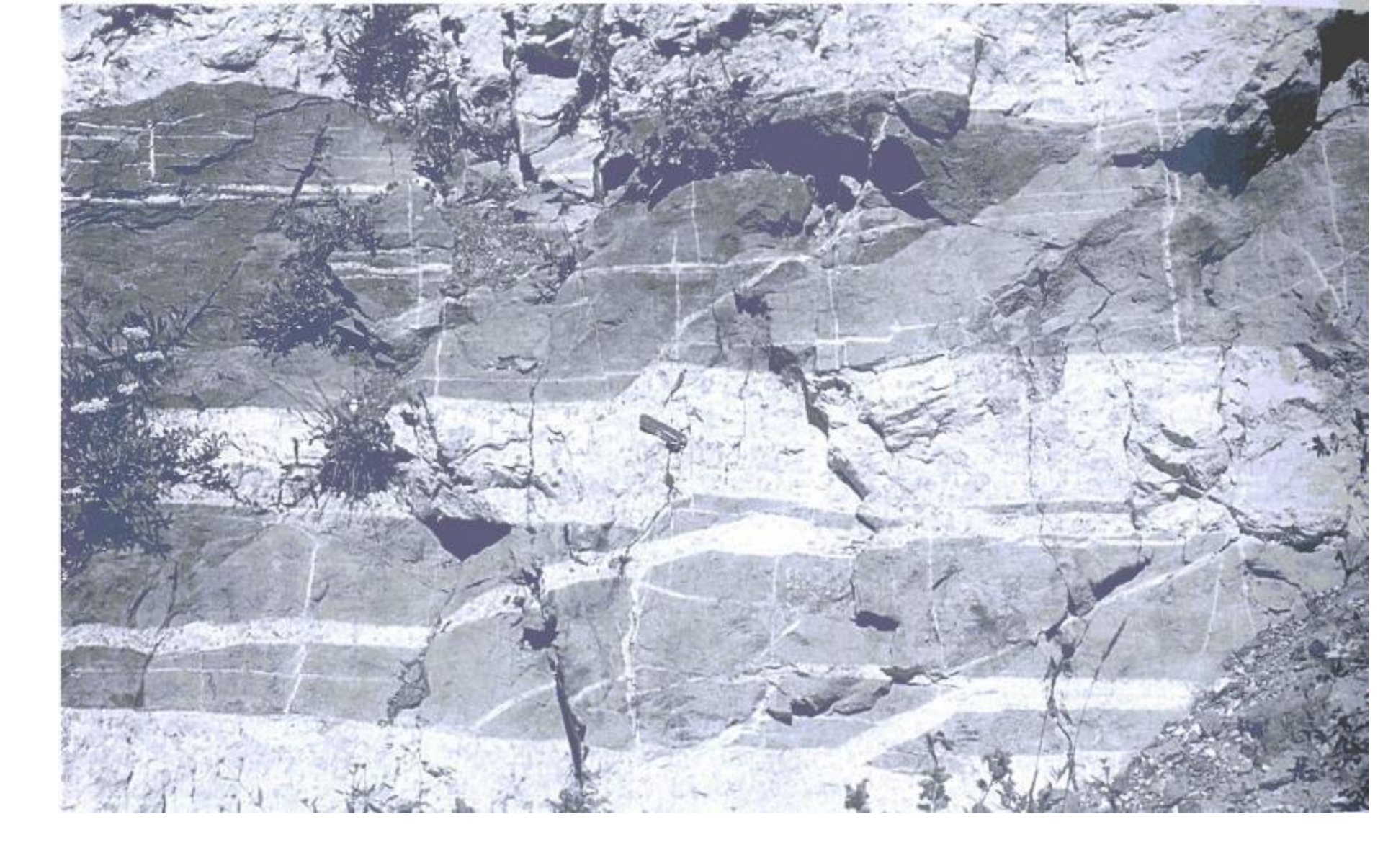


(Volcanic) Igneous Rocks

Intrusive (Plutonic)

Igneous Rocks

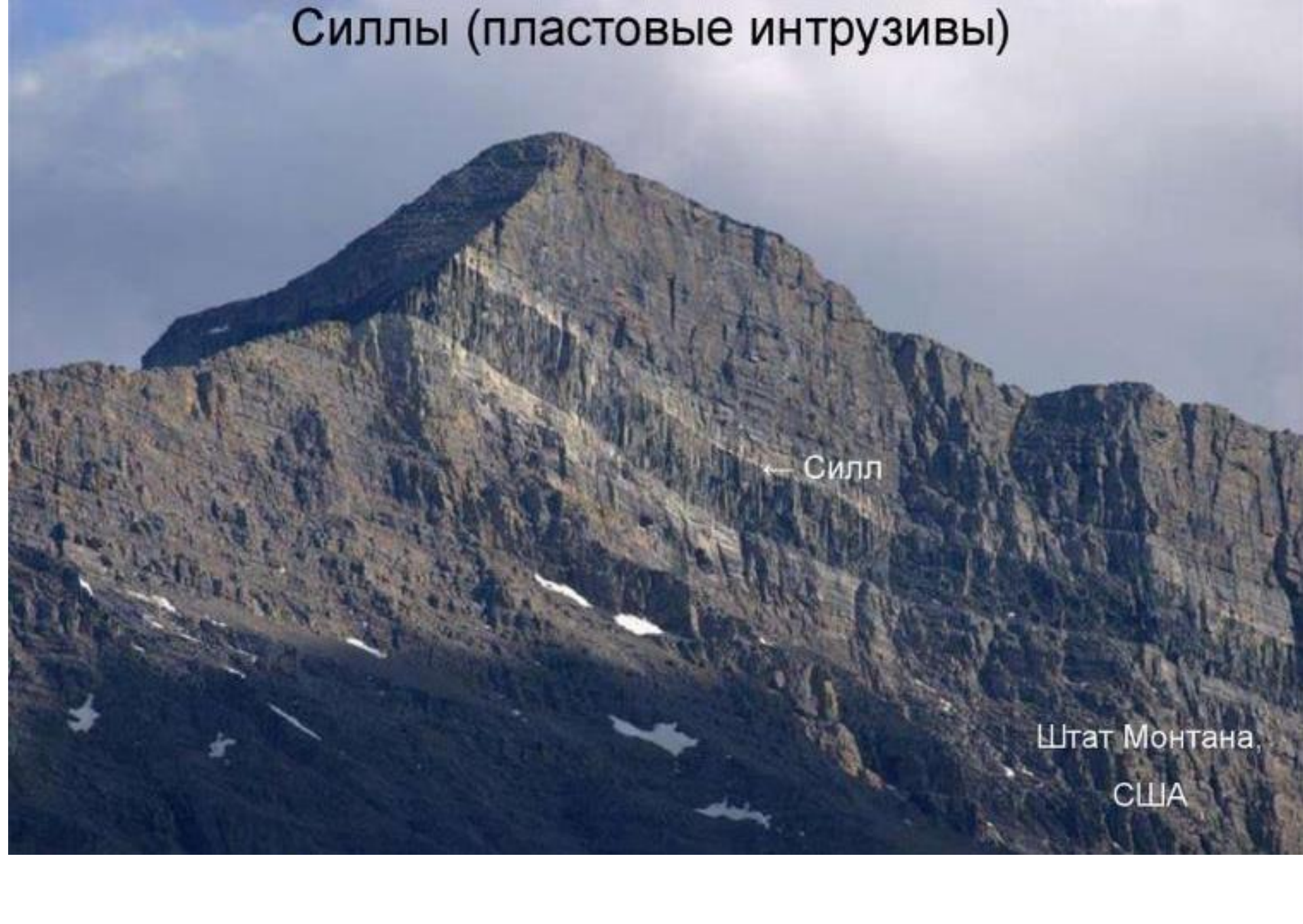
Согласные (конкордантные) интрузивные тела



Силл-

n мм – nx100 м

S – n кв.м – nx1000 кв.км



Отличия силлов от потоков контактовые роговики

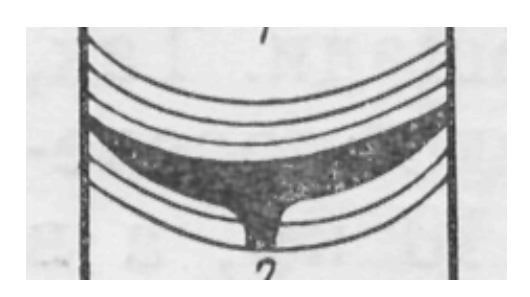
Апофизы в вышележащие породы

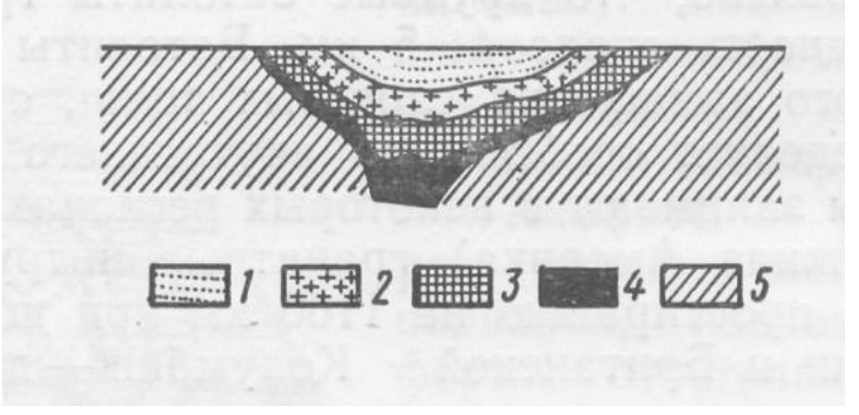
Ксенолиты вышележащих пород

Дифференциация

Лополиты (lopas – греч. – чаша, глиняное блюдо)

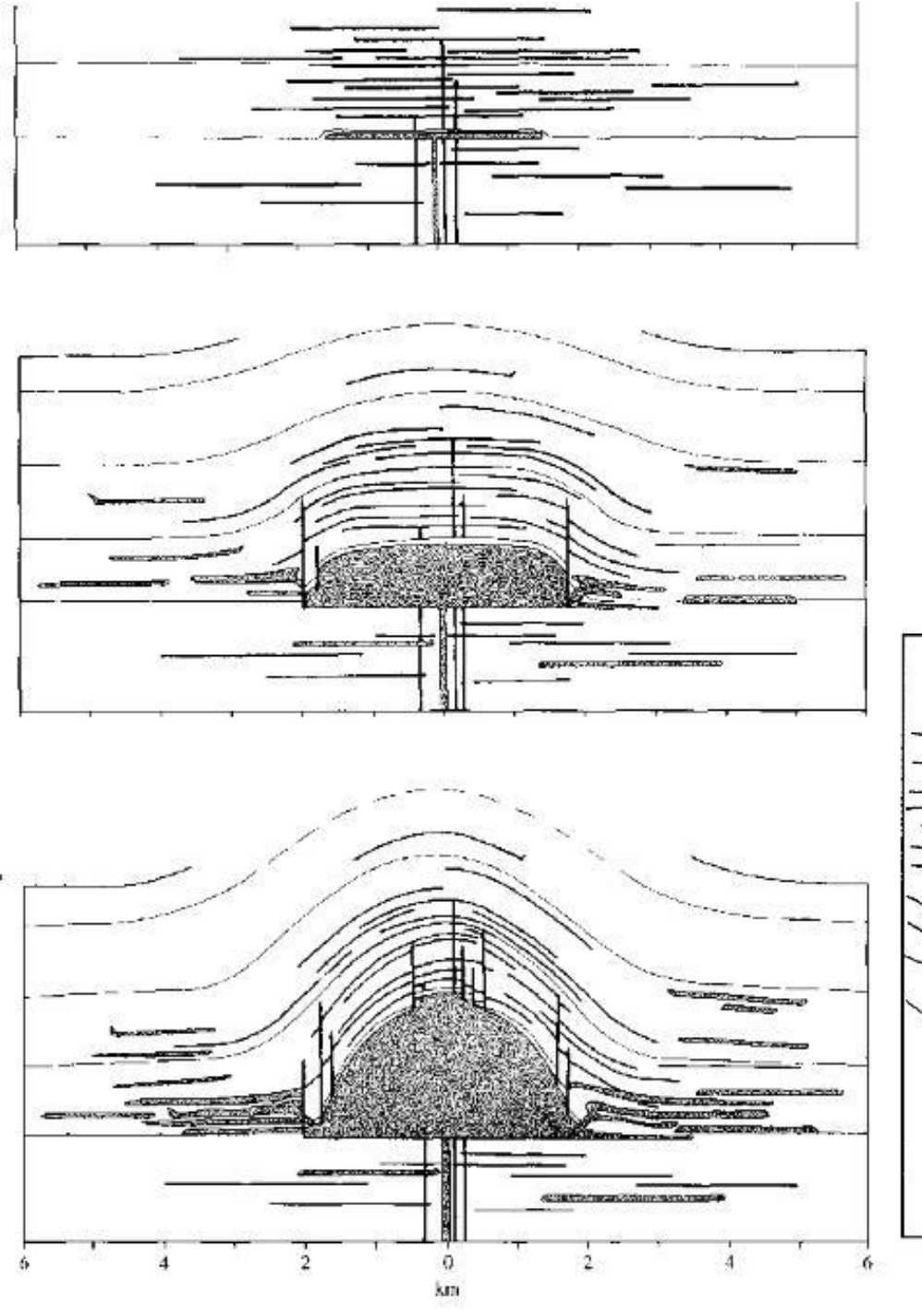
D = n км - nx100 км. Угол падения к центру – до 30^{0} М до nx1000 м





Гипотетическая схема строения лополита типа Седбери: 1) формация покрова; 2) гранофиры; 3) габбро; 4) меланократовые породы основного состава; 5) породы фундамента

Бушвельдский лополит 480х300х6 км



Лакколиты — lakkos — греч. — полость

D до 3-6 км, N — до пх1000м Мин.Воды, Аюдаг

